

Введение в физику сверхпроводимости

Виталий Валериевич Больгинов

Лекция 13

Теория БКШ, куперовские пары, энергетическая щель, критическая температура, спектр квазичастичных возбуждений, туннельные эффекты в сверхпроводниках.

Предпосылки создания теории БКШ:

квантование потока

Получили для разности плотностей энергии Гиббса:

$$g_s(r) - g_n = \alpha |\Psi|^2(r) + (\beta/2) |\Psi|^4(r) - BH + B^2/(2\mu_0) + [1/(2m^*)] | -i\hbar \nabla \Psi - qA \Psi |^2 \quad (3.40)$$

Уравнения Г-Л

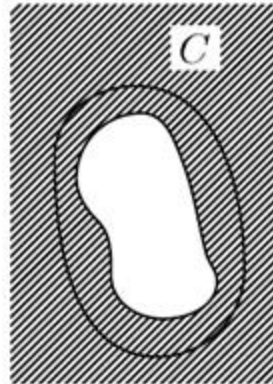
$$\alpha \Psi + \beta \Psi |\Psi|^2 + (1/2m^*)(i\hbar \nabla + qA)^2 \Psi = 0;$$

$$(1/\mu_0) \text{rot rot } A = -(i\hbar e/m^*)(\Psi^* \nabla \Psi - \Psi \nabla \Psi^*) - (q^2/2m) |\Psi|^2 A$$

Обобщенное уравнение
Лондонов

$$\hbar \nabla \theta = m^* \mathbf{v}_s + q\mathbf{A}$$

$$\hbar \nabla \theta = 2m \mathbf{v}_s + \frac{2e}{c} \mathbf{A}$$



Квантование потока

$$\Phi_0 = h/q \quad (= h/e)$$

$$\Phi_0 = h/2e$$

Теория Г-Л предсказывает в 2 раза меньшее значение кванта потока (1961).

Куперовские пары

Теплоемкость

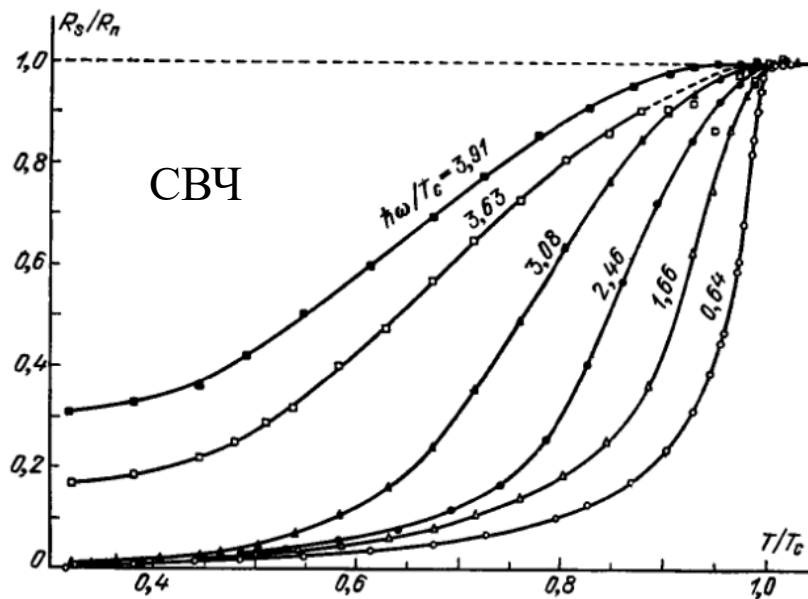
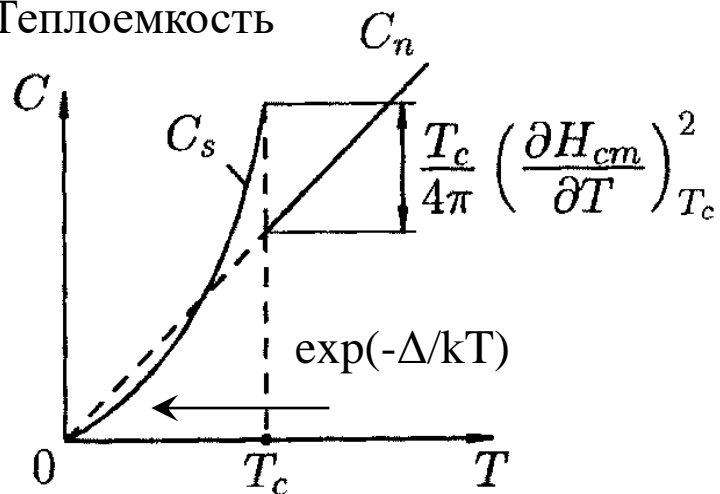


Рис. 19.4

Энергетическая щель

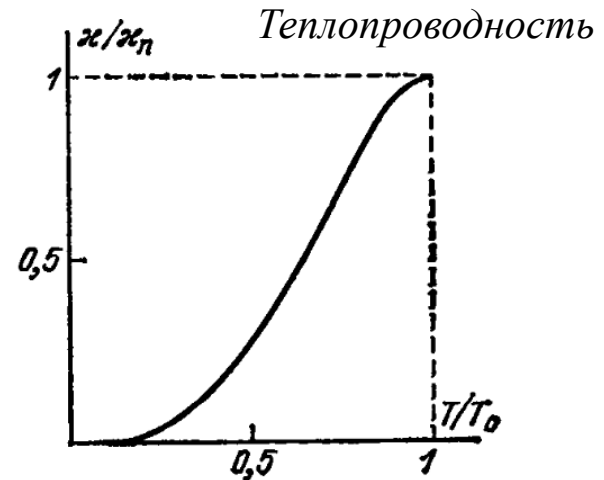


Рис. 19.1

$$\kappa \approx (2n_e \tau_{tr} T / m) [\Delta(0)/T]^2 \exp[-\Delta(0)/T].$$

Почему возникает энергетическая щель?

Сверхпроводящий конденсат

Как может происходить электрон-электронное притяжение?

Притяжение через ионную среду

Электроны – заряженные частицы, которые отталкиваются по закону Кулона.

Для образования комплексов требуется «притягивающее» взаимодействие.

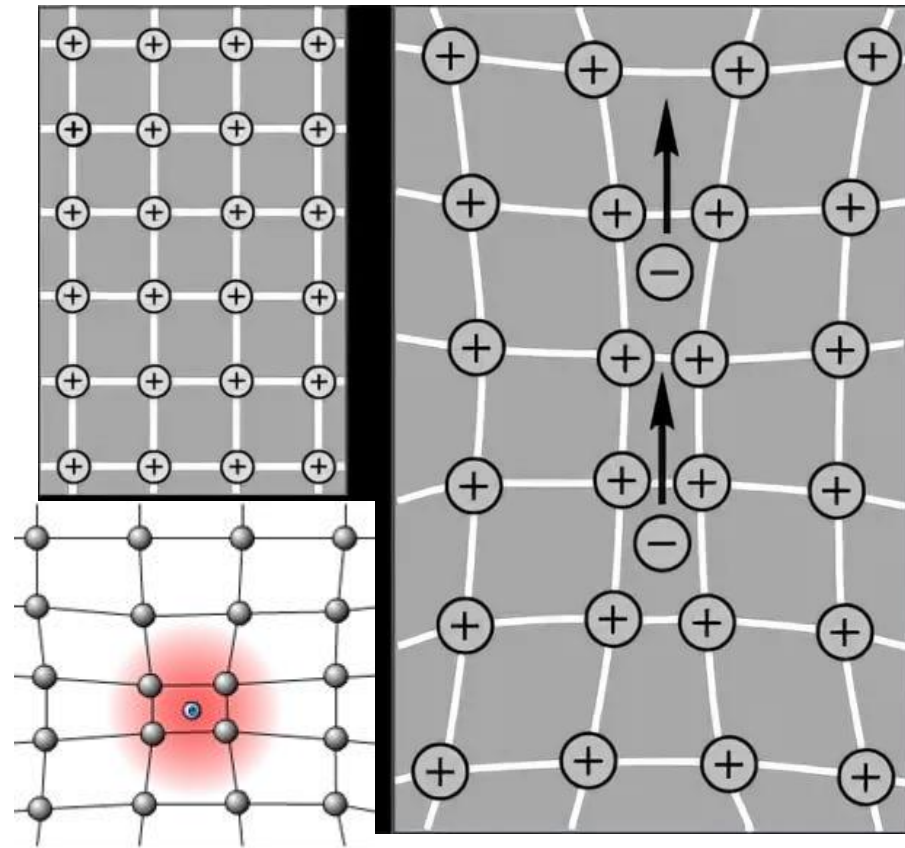
В основе механизма образования «куперовских пар», лежит притяжение электронов, посредством электрон-фононного взаимодействия.

$$m_p = 1840 m_e$$
$$M_{\text{Hg}} \sim 200 \text{ а.е.м.} \sim 400\,000 m_e$$

???

Модель ионного «желе»:

$$\frac{1}{\epsilon(\mathbf{q}, \omega)} = \frac{q^2}{k_s^2 + q^2} \left(1 + \frac{\omega_q^2}{\omega^2 - \omega_q^2} \right)$$



Возможно понятнее рассуждать «от фононов».

Электрон-фононное взаимодействие

Изотопический эффект в сверхпроводниках

В основе механизма образования “куперовских пар”, лежит притяжение электронов, посредством электрон-фононного взаимодействия.

Участие фононов в сверхпроводимости доказывает **изотопический эффект** (Е. Maxwell; С. А. Reynolds; 1950 г.): температура сверхпроводящего перехода T_c зависит от массы m атомов сверхпроводящего металла. В экспериментах использовались разные изотопы **олова** и **ртути** и была обнаружена зависимость:

$$T_c \sim m^{-1/2}.$$

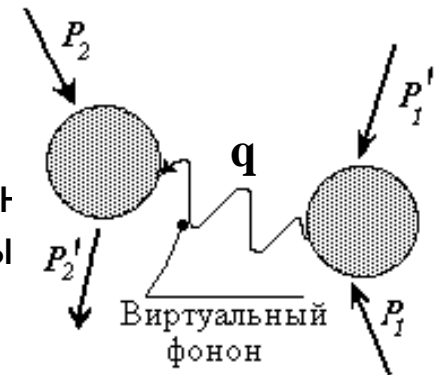
Ртуть: $M = 199.5 \rightarrow 203.4$ а.е.м., $T_c = 4,185 \rightarrow 4,14$ К

Изменение массы атомов приводит к изменениям характерных колебаний кристаллической решетки ω_D (дебаевской частоты)

$$\omega_D \sim m^{-1/2}$$

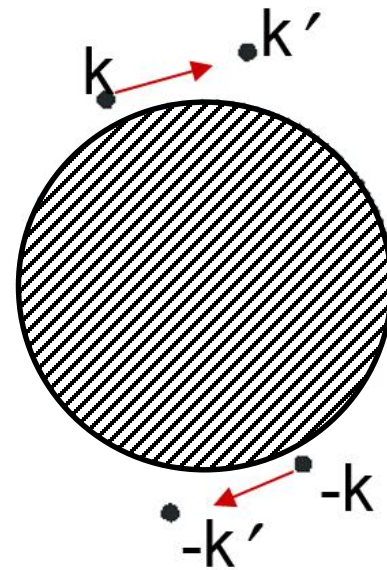
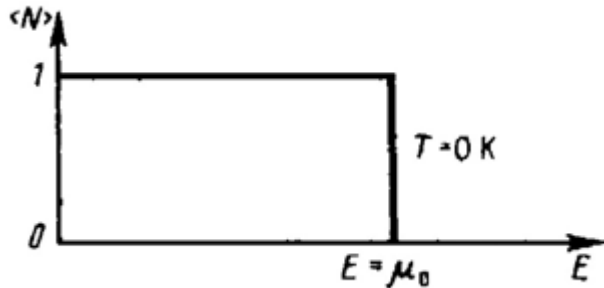
(частота осциллятора с упругой константой k есть $(k/m)^{1/2}$).

Таким образом T_c тем больше, чем больше частота фононов, т.е. дело во взаимодействии электронов проводимости и фононов, которое может приводить к притяжению между электронами.

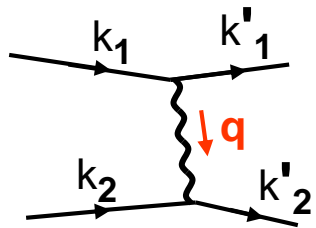


Тема 2

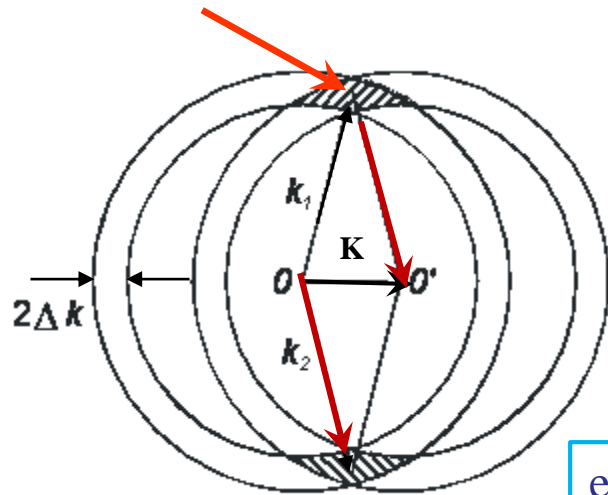
«Единичная куперовская пара при нулевой температуре»



Импульс и спин куперовской пары.



Области
перерасcеяния



$$\mathbf{K} = 0;$$

$$\mathbf{k}_1 = -\mathbf{k}_2;$$

$$\mathbf{k}'_1 = -\mathbf{k}'_2$$

Волновая функция куперовской пары: $\Psi_{\alpha,\beta} = \psi_{\alpha,\beta}(\mathbf{r}_{\alpha,\beta})\chi_{\alpha,\beta}$

$$\Psi_1 = \psi_1(\mathbf{r}_1)\alpha$$

$$\Psi_2 = \psi_2(\mathbf{r}_2)\beta$$

Симметричные соображения (перестановка):

$$\Psi_{\alpha\beta} = -\Psi_{\beta\alpha}$$

$$\Psi = \sum \Psi_{\alpha,\beta}(\mathbf{r}_{\alpha,\beta})\Psi_{\beta,\alpha}(\mathbf{r}_{\beta,\alpha})$$

$$\sim \exp(-i\mathbf{k}\mathbf{r})$$

$$S_1 = -S_2$$

$$\cos(\mathbf{k}\{\mathbf{r}_1 = \mathbf{r}_2\})$$

явлению волновыми векторами. Это позволяет рассмотреть гальную волновую функцию типа

$$\exp(\pm i\mathbf{k}\{\mathbf{r}_1 - \mathbf{r}_2\}) \quad \psi_0(\mathbf{r}_1, \mathbf{r}_2) = \sum_{\mathbf{k}} g_{\mathbf{k}} \exp(i\mathbf{k} \cdot \mathbf{r}_1) \exp(-i\mathbf{k} \cdot \mathbf{r}_2).$$

С учетом антисимметрии полной волновой функции по отношению к перестановке этих двух электронов выражение для ψ_0 преобразуется или в сумму членов $\cos \mathbf{k} \cdot (\mathbf{r}_1 - \mathbf{r}_2)$, умноженных на антисимметричные синглетные спиновые функции $(\alpha_1\beta_2 - \beta_1\alpha_2)$, или в сумму членов $\sin \mathbf{k} \cdot (\mathbf{r}_1 - \mathbf{r}_2)$, умноженных на одну из симметричных триплетных спиновых функций $(\alpha_1\alpha_2, \alpha_1\beta_2 + \beta_1\alpha_2, \beta_1\beta_2)$. В этих вы-

$$\exp(-i\mathbf{k}_1\mathbf{r}_1) \cdot \exp(-i\mathbf{k}_2\mathbf{r}_2) = \exp(i\mathbf{k}_1\mathbf{r}_1 - i\mathbf{k}_2\mathbf{r}_2)$$

$$\exp(\pm i\mathbf{k}\{\mathbf{r}_1 - \mathbf{r}_2\}) = \cos(\mathbf{k}\{\mathbf{r}_1 - \mathbf{r}_2\}) \pm i \sin(\mathbf{k}\{\mathbf{r}_1 - \mathbf{r}_2\})$$

Энергия куперовского связанного состояния

$$E \approx -2\hbar\omega_D \exp\left(-\frac{2}{N(0)V}\right)$$

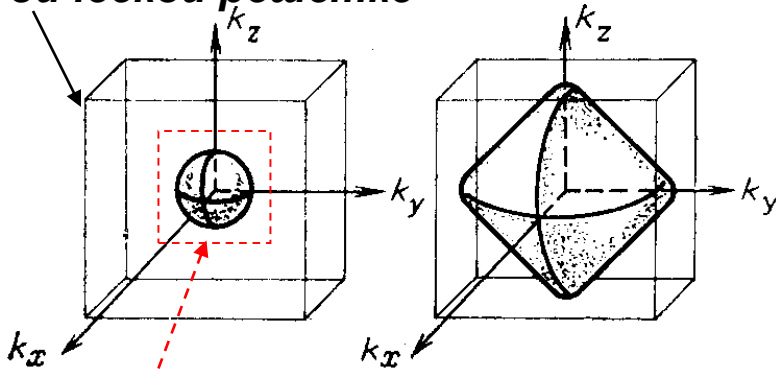
Выигрыш в энергии растет при увеличении ω_D , $N(0)$ и V (приближение **сильной** связи!)

Энергия куперовского связанного состояния

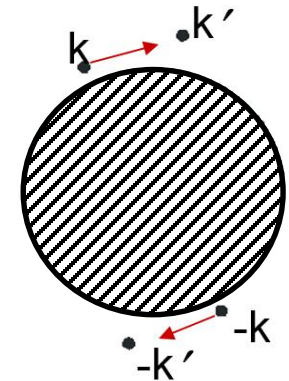
$N(0)V \ll 1$ (приближение слабой связи!)

Суммарная энергия двух возбуждений (связанного состояния) **отрицательна при любом сколь угодно малом притяжении!**

зона Бриллюэна
в кубической решетке



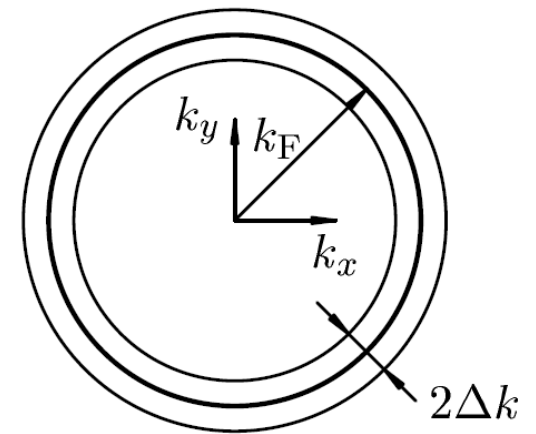
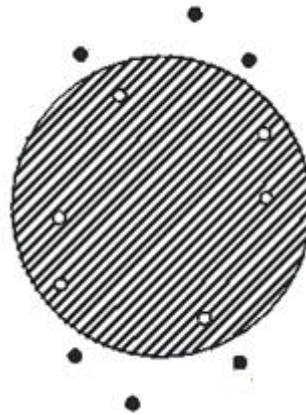
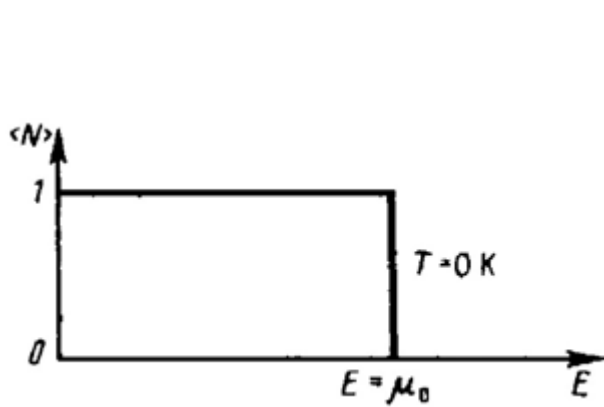
**Сферическая
поверхность
(энергия) Ферми**



$$V = \text{const}(\theta, \varphi)$$

Тема 3

«Энергия основного состояния сверхпроводника»



$$\hat{H} \Psi = E \Psi$$

?

Энергия основного состояния сверхпроводника I

“BCS”: Phys. Rev. **108**, 1175–1204 (1957)

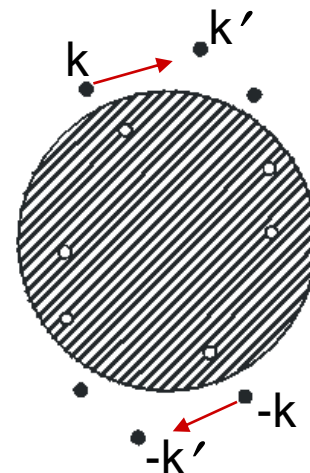
$T = 0$

Пусть теперь множество динамических электронных пар используют
одни и те же состояния $(\mathbf{k}, -\mathbf{k})$!

$v_{\mathbf{k}}$ и $u_{\mathbf{k}}$ — комплексные “факторы когерентности”:

$v_{\mathbf{k}}^2$ — вероятность того, что парное состояние $(\mathbf{k}, -\mathbf{k})$
заполнено

$u_{\mathbf{k}}^2 = 1 - v_{\mathbf{k}}^2$ — вероятность того, что состояние $(\mathbf{k}, -\mathbf{k})$
свободно



Чтобы переход $(\mathbf{k}, -\mathbf{k}) \leftrightarrow (\mathbf{k}', -\mathbf{k}')$ был возможен,

необходимо: (исходное состояние Ψ_k)

1) $(\mathbf{k}, -\mathbf{k})$ заняты, $(\mathbf{k}', -\mathbf{k}')$ свободны \rightarrow Вероятность $v_{\mathbf{k}}^2 u_{\mathbf{k}'}^2$, амплитуда $v_{\mathbf{k}} u_{\mathbf{k}'}$.

2) $(\mathbf{k}, -\mathbf{k})$ свободны, $(\mathbf{k}', -\mathbf{k}')$ заняты \rightarrow Вероятность $v_{\mathbf{k}'}^2 u_{\mathbf{k}}^2$, амплитуда $v_{\mathbf{k}'} u_{\mathbf{k}}$.

“Затрагиваются” 4 ячейки

$$E = \sum_{\mathbf{k} > k_F} 2\varepsilon_{\mathbf{k}} v_{\mathbf{k}}^2 + \sum_{\mathbf{k} < k_F} 2|\varepsilon_{\mathbf{k}}| u_{\mathbf{k}}^2 - \sum_{\mathbf{k}, \mathbf{k}'} V v_{\mathbf{k}} u_{\mathbf{k}'} v_{\mathbf{k}'} u_{\mathbf{k}}$$

???

Энергия сверхпроводника и факторы когерентности

Кинетическая энергия сверхпроводника равна

$$E_S - E_N = \sum_0^{\infty} 2\varepsilon_k v_k^2 - \sum_{k,k'} V v_k u_{k'} v_{k'} u_k \quad \varepsilon_k = \left(\frac{\hbar^2 k^2}{2m} - \frac{\hbar^2 k_F^2}{2m} \right)$$

Ищем функцию v_k^2 , дающую минимум внутр. энергии.

$$u_k^2 = 1 - v_k^2$$

Критерий равновесного состояния (K – одно из состояний):

$$T = 0$$

$$\frac{\partial E_s}{\partial v_K^2} = 0;$$

$$y = v_K^2 - v_K^4$$

$$\Delta_0 = V \sum' v_k u_k$$

$$2\varepsilon_K + 2V \frac{\partial(v_K u_K)}{\partial v_K^2} \sum v_{k'} u_{k'} = 2\varepsilon_K - 2 \frac{\partial[(v_K^2)^{1/2} (1 - v_K^2)^{1/2}]}{\partial v_K^2} V \sum v_{k'} u_{k'} = 0$$

ячейка K дважды

$$\varepsilon_K - \frac{\partial[(v_K^2 - v_K^4)^{1/2}]}{\partial v_K^2} \Delta_0 = 0$$

$$\varepsilon_K = \frac{1 - 2v_K^2}{2(v_K^2 - v_K^4)^{1/2}} \Delta_0$$

Энергия сверхпроводника и факторы когерентности

возведем в квадрат

$$\epsilon_K = \frac{1 - 2v_K^2}{2(v_K^2 - v_K^4)^{1/2}} \Delta_0 \quad 2\epsilon_K \sqrt{v_K^4 - v_K^2} = \Delta_0(1 - 2v_K^2) \quad 4(\epsilon_K^2 + \Delta_0^2)(v_K^2 - v_K^4) = \Delta_0^2$$

$$4\epsilon_K^2(v_K^2 - v_K^4) = \Delta_0^2 - 4v_K^2\Delta_0^2 + 4v_K^4\Delta_0^2 \quad v_K^4 - v_K^2 + \frac{\Delta_0^2}{4(\epsilon_K^2 + \Delta_0^2)} = 0$$

Свернем

$$4\epsilon_K^2(v_K^2 - v_K^4) = \Delta_0^2 - 4\Delta_0^2(v_K^2 - v_K^4) \quad E_K^2 = \epsilon_K^2 + \Delta_0^2 \quad v_K^4 - v_K^2 + \frac{\Delta_0^2}{4E_K^2} = 0$$

$$v_K^2 = \frac{1 \pm \sqrt{1 - 4[\Delta_0^2 / 4E_K^2]}}{2}$$

$$v_K^2 = \frac{1}{2} \left(1 \pm \frac{\sqrt{E_K^2 - \Delta_0^2}}{E_K} \right)$$

$$v_K^2 = \frac{1}{2} \left(1 - \frac{\epsilon_K}{E_K} \right)$$

$$E_K^2 - \Delta_0^2 = \epsilon_K^2$$

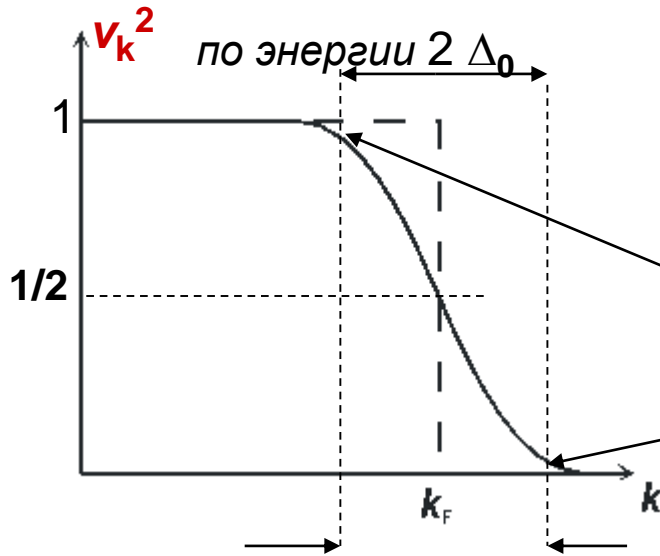
$$v_K^2 = \frac{1}{2} \left(1 - \frac{(\epsilon_K / \Delta_0)}{\sqrt{(\epsilon_K / \Delta_0)^2 + 1}} \right)$$

Взят “-”, т.к. при $\epsilon_K \rightarrow \infty$ энергия $E_K \rightarrow \epsilon_K$,

а вероятность $v_K^2 \rightarrow 0$

Факторы когерентности

$$v_k^2 = \frac{1}{2} \left(1 - \frac{x}{\sqrt{x^2 + 1}} \right), \quad x = \varepsilon_k / \Delta \quad \varepsilon_k = \frac{\hbar^2}{2m} (k^2 - k_F^2) \quad u_k^2 = 1 - v_k^2$$



При $k = k_F$ $\varepsilon_k = 0$ и $v_k^2 = u_k^2 = 1/2$

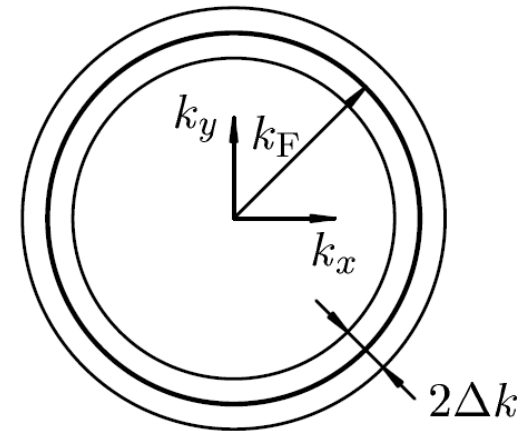
«хвосты» в интервале $\Delta k / k_F \sim \hbar \omega_D / \varepsilon_F$ (см. (9.2))

При $\varepsilon_k = \pm \Delta_0$

$$v_k^2 = (1/2)(1 \pm 1/\sqrt{2}) = (1/2)(1 \pm 0.7) = \mathbf{0.85} \text{ и } \mathbf{0.15}$$

$$\Delta k / k_F \sim 2 \Delta_0 / \varepsilon_F \leq 10^{-3}$$

В динамическом спаривании, фактически, участвуют электроны в слое $2\Delta_0$ вблизи E_F



Доля с энергиями $\sim E_F \pm \hbar \omega_D$ («хвосты») - мала

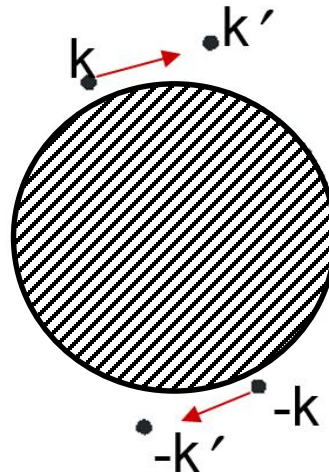
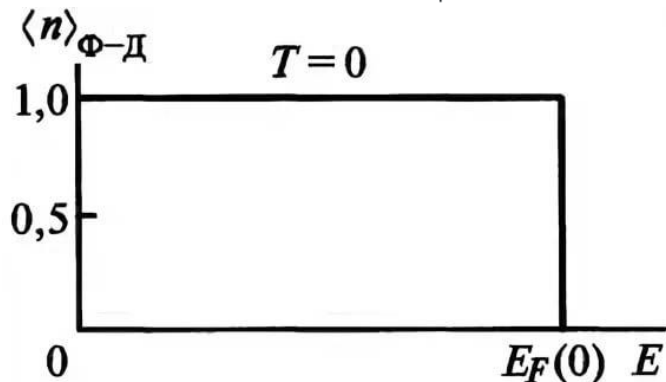
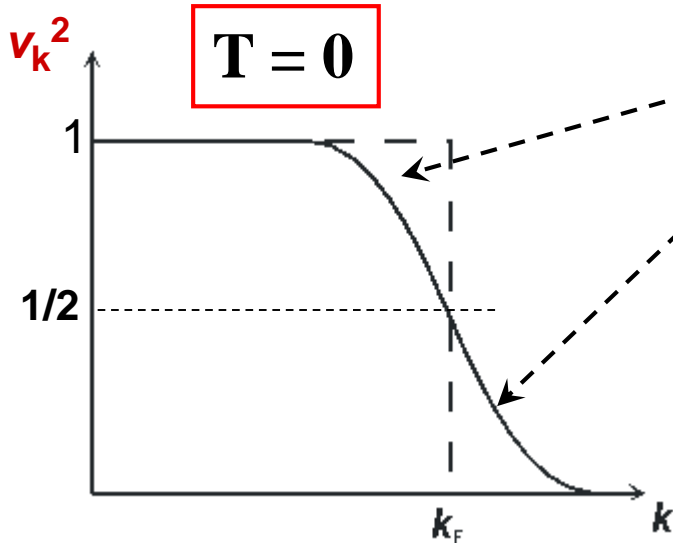
$$\varepsilon_k \approx \frac{\hbar^2 k_F}{m} \Delta k \quad \boxed{\frac{\Delta k}{k} = \frac{\Delta \varepsilon}{\varepsilon}}$$

Факторы когерентности

V_k^2 – вероятность того, что парное состояние $(\mathbf{k}, -\mathbf{k})$ **заполнено**

$$v_k^2 = \frac{1}{2} \left(1 - \frac{x}{\sqrt{x^2 + 1}} \right), \quad x = \varepsilon_k / \Delta$$

ячейки k -пространства,
используемые для
перераспределения $k \rightarrow k'$



Распределение Ферми
«размывается» даже при $T = 0$.
Природа идет на повышение
кинетической энергии, чтобы
выиграть в потенциальной!!!

$$E = \sum_{k > k_F} 2\varepsilon_k v_k^2 + \sum_{k < k_F} 2|\varepsilon_k| u_k^2 - \sum_{k, k'} V_{k, k'} u_{k'} v_k u_k$$

Тема 4

«Спектр одночастичных возбуждений»

Вычислим параметр Δ

$$v_k^2 = \frac{1}{2} \left(1 - \frac{\varepsilon_k}{E_k} \right) \quad u_k^2 = \frac{1}{2} \left(1 + \frac{\varepsilon_k}{E_k} \right) \quad \boxed{E_k^2 - \varepsilon_k^2 = \Delta_0^2} \quad \boxed{E_k^2 = \varepsilon_k^2 + \Delta_0^2}$$

$$\Delta_0 = V \Sigma' v_k u_k = V \Sigma' [(1/2)^2 (1 - \varepsilon_k/E_k) (1 + \varepsilon_k/E_k)]^{1/2} =$$

$$= V \Sigma' [(1/2)^2 (1 - \varepsilon_k^2/E_k^2)]^{1/2} =$$

$$= (V/2) \Sigma' [(E_k^2 - \varepsilon_k^2)/E_k^2]^{1/2} = (V\Delta_0/2) \Sigma' [1/(\varepsilon_k^2 + \Delta_0^2)^{1/2}]$$

$$\cancel{\Delta_0} = (\cancel{V\Delta_0}/2) \Sigma' [1/(\varepsilon_k^2 + \Delta_0^2)^{1/2}] \rightarrow 1 = (V/2) \Sigma' [1/(\varepsilon_k^2 + \Delta_0^2)^{1/2}]$$

$$\frac{V}{2} \sum_{-\hbar\omega_D}^{\hbar\omega_D} (\varepsilon_k^2 + \Delta_0^2)^{-1/2} = \frac{V}{2} \int_0^{\hbar\omega_D} \frac{2N(0)}{\sqrt{\varepsilon^2 + \Delta_0^2}} d\varepsilon = N(0)V \int_0^{\hbar\omega_D} \frac{d\varepsilon}{\sqrt{\varepsilon^2 + \Delta_0^2}}$$

$dn = 2N(0)d\varepsilon$

$$\int \frac{dx}{\sqrt{x^2 + \Delta_0^2}} = \operatorname{arcsch}(x/a) + \ln a$$

Вычислим параметр Δ

$$N(0)V \int_0^{\hbar\omega_D} \frac{d\varepsilon}{\sqrt{\varepsilon^2 + \Delta_0^2}} = N(0)V \operatorname{arcsch} \frac{\varepsilon}{\Delta_0} \Big|_0^{\hbar\omega_D} = N(0)V \operatorname{arcsch} \frac{\hbar\omega_D}{\Delta_0}$$

$$\hbar\omega_D/\Delta_0 = \operatorname{sh}[1/N(0)V];$$

$$\operatorname{sh} x \rightarrow (1/2) \exp x \text{ при } x \rightarrow \infty$$

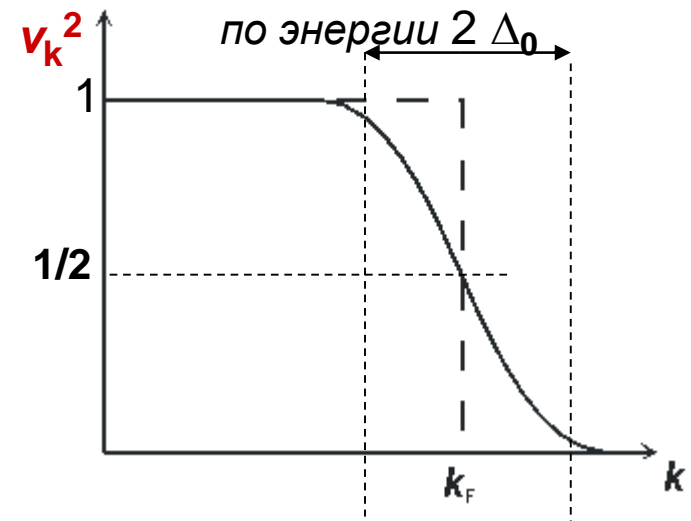
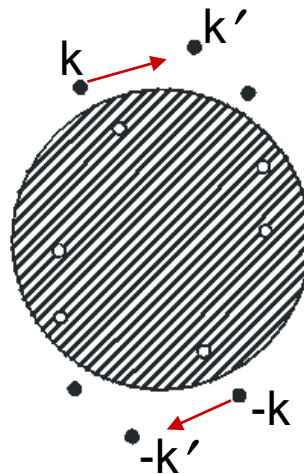
$$N(0)V \ll 1: \quad 2\hbar\omega_D/\Delta_0 = \exp[1/(N(0)V)];$$

*предел слабого
взаимодействия*

$$\Delta_0 \approx 2\hbar\omega_D \exp\left(-\frac{1}{N(0)V}\right)$$

Ср. с энергией куперовского
связанного состояния (9.3):

$$E = -2\hbar\omega_D \exp\left(-\frac{2}{N(0)V}\right)$$



Энергия сверхпроводящего основного состояния

$$E = \sum_{k > k_F} 2\varepsilon_k v_k^2 + \sum_{k < k_F} 2|\varepsilon_k| u_k^2 - \sum_{k, k'} V v_k u_{k'} v_{k'} u_k$$

$$v_k^2 = \frac{1}{2} \left(1 - \frac{\varepsilon_k}{E_k} \right)$$

$$u_k^2 = \frac{1}{2} \left(1 + \frac{\varepsilon_k}{E_k} \right)$$

$$E_k^2 = \varepsilon_k^2 + \Delta_0^2$$

$$E = \sum_{k > k_F} \varepsilon_k \left(1 - \frac{\varepsilon_k}{E_k} \right) + \sum_{k < k_F} |\varepsilon_k| \left(1 + \frac{\varepsilon_k}{E_k} \right) - \sum_k v_k u_k \sum_{k'} V v_{k'} u_{k'}$$

$$E = \sum_0^{\hbar\omega_D} \varepsilon_k \left(1 - \frac{\varepsilon_k}{E_k} \right) + \sum_{-\hbar\omega_D}^0 |\varepsilon_k| \left(1 - \frac{|\varepsilon_k|}{E_k} \right) - \Delta_0 \sum_{k, k'} v_k u_{k'} \quad \rightarrow *1 = V/V$$

$$E_k^2 - \varepsilon_k^2 = \Delta_0^2$$

$$E = 2 \sum_0^{\hbar\omega_D} \varepsilon_k \left(1 - \frac{\varepsilon_k}{E_k} \right) + \sum_{-\hbar\omega_D}^0 |\varepsilon_k| \left(1 - \frac{|\varepsilon_k|}{E_k} \right) - \frac{\Delta_0^2}{V}$$

$$E = 2 \sum_0^{\hbar\omega_D} \varepsilon_k \left(1 - \frac{\varepsilon_k}{\sqrt{\varepsilon_k^2 + \Delta_0^2}} \right) - \frac{\Delta_0^2}{V} = 2 \int_0^{\hbar\omega_D} \left(\varepsilon_k - \frac{\varepsilon_k^2}{\sqrt{\varepsilon_k^2 + \Delta_0^2}} \right) N(0) d\varepsilon_k - \frac{\Delta_0^2}{V}$$

Повтор

$$E = \sum_{k > k_F} 2\varepsilon_k v_k^2 + \sum_{k < k_F} 2|\varepsilon_k| u_k^2 - \sum_{k, k'} V v_k u_{k'} v_{k'} u_k$$

$$E = \sum_{k > k_F} 2\varepsilon_k v_k^2 + \sum_{k < k_F} 2|\varepsilon_k| u_k^2 - \sum_{k, k'} V v_k u_{k'} v_{k'} u_k$$

$$E_S - E_N = \sum_{k \text{ в } \Delta k \text{ области}} 2\varepsilon_k v_k^2 - V \sum' v_k u_k v_{k'} u_{k'} \quad (9.4a), \text{ см. (9.4)}$$

$$\sum' v_k u_k V \sum' v_{k'} u_{k'} = \Delta_0 \sum' v_k u_k$$

$$E_S - E_N = \sum 2\varepsilon_k (1 - \varepsilon_k / E_k) - \Delta_0^2 / V$$

$$\sum' v_k u_k = \Delta_0 / V$$

$$E_S - E_N = 2N(0) \int_{-\hbar\omega_D}^{\hbar\omega_D} \varepsilon \left[1 - \frac{\varepsilon}{\sqrt{\varepsilon^2 + \Delta_0^2}} \right] d\varepsilon - \frac{2\Delta_0^2}{V} = 2N(0) \left[\frac{(\hbar\omega_D)^2}{2} - \int_0^{\hbar\omega_D} \frac{\varepsilon^2}{\sqrt{\varepsilon^2 + \Delta_0^2}} d\varepsilon \right] - \frac{2\Delta_0^2}{V}$$

$$\int dx x^2 / (x^2 + a^2)^{1/2} = (x/2) (x^2 + a^2)^{1/2} - (a^2/2) \operatorname{arcsinh}(x/a) - (a^2/2) \ln a$$

$$x = \varepsilon; a = \Delta_0$$

$$E_S = N(0) \{ (\hbar\omega_D)^2 - \hbar\omega_D \Delta_0 [1 + (\hbar\omega_D / \Delta_0)^2]^{1/2} + \Delta_0^2 \operatorname{arcsinh}(\hbar\omega_D / \Delta_0) \} - \Delta_0^2 / V =$$

Энергия основного состояния

$$E = 2 \int_0^{\hbar\omega_D} \left(\varepsilon_k - \frac{\varepsilon_k^2}{\sqrt{\varepsilon_k^2 + \Delta_0^2}} \right) N(0) d\varepsilon_k - \frac{\Delta_0^2}{V}$$

$$\int \{x^2 / (x^2 + a^2)^{1/2}\} dx = (x/2)(x^2 + a^2)^{1/2} - (a^2/2) \operatorname{arcsch}(x/a) - (a^2/2) \ln a$$

$$E_s = N(0) \{(\hbar\omega_D)^2 - \hbar\omega_D \Delta_0 [1 + (\hbar\omega_D/\Delta_0)^2]^{1/2} + \Delta_0^2 \operatorname{arcsch}(\hbar\omega_D/\Delta_0)\} - \Delta_0^2/V =$$

$$\operatorname{sh}[1/(N(0)V)] = \hbar\omega_D/\Delta_0$$

$$= N(0) \Delta_0^2 \{(\hbar\omega_D/\Delta_0)^2 - (\hbar\omega_D/\Delta_0) [1 + (\hbar\omega_D/\Delta_0)^2]^{1/2}\} + N(0) \Delta_0^2 / N(0)V - \Delta_0^2/V =$$

$$\hbar\omega_D/\Delta_0 = \operatorname{sh}(1/N(0)V) = \operatorname{sh}(X); \quad N(0) \Delta_0^2 \{ \operatorname{sh}^2(X) - \operatorname{sh}(X) [1 + \operatorname{sh}^2(X)]^{1/2} \} \\ = \operatorname{ch}(X)$$

$$\{2 \operatorname{sh}^2(X) - 2 \operatorname{sh}(X) \operatorname{ch}(X)\}/2 = \{\operatorname{ch}(2X) - 1 - \operatorname{sh}(2X)\}$$

$$\operatorname{sh}^2 x = \frac{(e^x - e^{-x})^2}{4} = \frac{1}{2} \left[\frac{(e^{2x} + e^{-2x})}{2} - 1 \right] = \frac{1}{2} [\operatorname{ch}(2x) - 1]$$

Энергия сверхпроводящего основного состояния

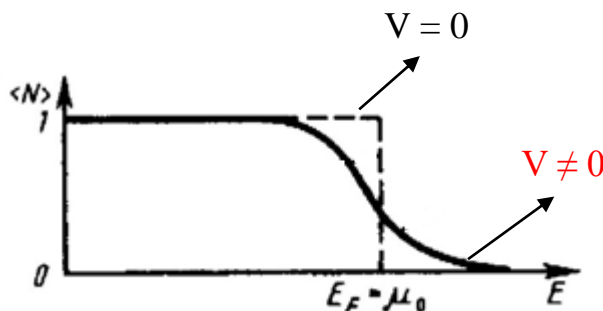
$$E_s - E_N = \frac{N(0)\Delta_0^2}{2} \left[\cancel{ch\left(\frac{2}{N(0)V}\right)} - 1 - \cancel{sh\left(\frac{2}{N(0)V}\right)} \right] = -\frac{N(0)\Delta_0^2}{2} = -\frac{N(0)\Delta_0}{2} \Delta_0$$

т.к. $2X=2/[N(0)V] \gg 1$: $sh(2X) \approx ch(2X) \approx (1/2)\exp(2X)$
 $N(0)V \ll 1$ – предел слабого взаимодействия

Простая интерпретация результата:

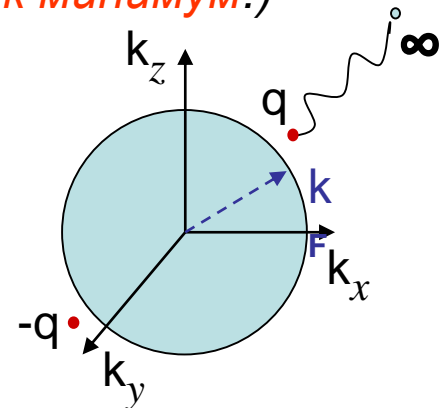
$n=N(0)\Delta_0/2$ – число электронных пар, *принимающих участие в $(k,-k) \leftrightarrow (k',-k')$ переходах*,
 Δ_0 – энергетический выигрыш от каждой пары (энергия связи).

Чтобы разорвать пару и создать одночастичное возбуждение необходимо затратить “целевую энергию” Δ_0 (*как минимум!*)



$$E_s - E_n = -N(0)\Delta_0^2/2 = -\mu_0 H_{cm}^2/2$$

$$\mu_0 H_{cm} = (\mu_0 N(0))^{1/2} \Delta_0$$



Энергия квазичастиц

$$\Delta_0 \approx 2\hbar\omega_D \exp\left(-\frac{1}{N(0)V}\right) \quad \text{см. (9.9).}$$

$$v_k^2 = \frac{1}{2} \left(1 - \frac{\varepsilon_k}{E_k}\right)$$

$$u_k^2 = \frac{1}{2} \left(1 + \frac{\varepsilon_k}{E_k}\right)$$

Определим энергию квазичастичного возбуждения

$$E_q = \sqrt{\varepsilon_q^2 + \Delta_0^2}$$

Чтобы создать квазичастицу в состоянии q (т.е. исключить q , $-q$ состояния из $(k, -k) \leftrightarrow (k', -k')$ перерассеяний) необходимо полностью заполнить одно из q или $-q$ состояний и освободить второе. Вклад в энергию от квазичастицы - $+\varepsilon_q$.

Конечное состояние

Начальное состояние

Вклад в энергию E_S отдельной пары с импульсами $q, -q$ в основном состоянии (см. (9.4a)):

$$W_q = 2\varepsilon_q v_q^2 - 2 \sum' v_q u_q \sum' v_k u_k = 2\varepsilon_q (1/2) (1 - \varepsilon_q / E_q) - 2[(1/4)(1 - \varepsilon_q^2 / E_q^2)]^{1/2} \Delta_0 =$$

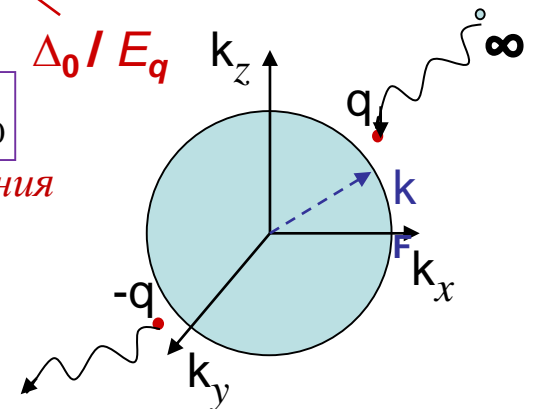
$$= \varepsilon_q - \varepsilon_q^2 / E_q - \Delta_0^2 / E_q = \varepsilon_q - \{\varepsilon_q^2 + \Delta_0^2\} / E_q = \varepsilon_q - E_q$$

Энергия квазичастицы:

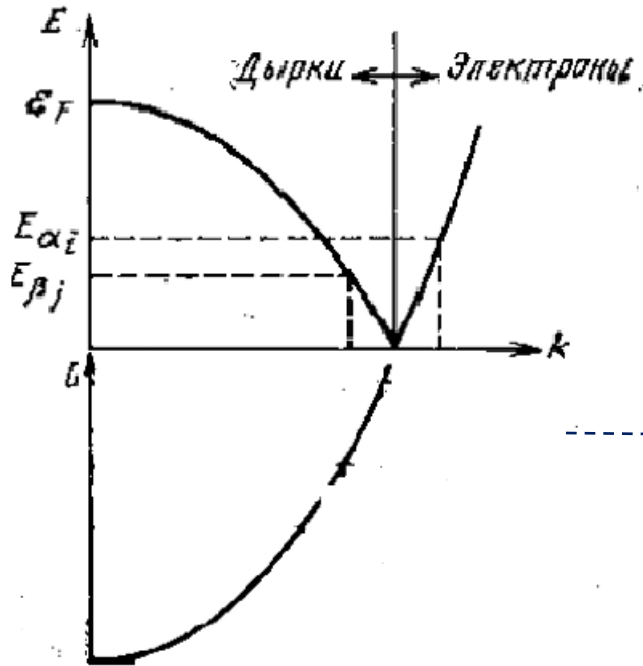
$$E_q^2 = \varepsilon_q^2 + \Delta_0^2$$

$+\varepsilon_q - W_q = \varepsilon_q - \varepsilon_q + E_q = E_q \rightarrow$ энергия квазичастичного состояния
стало было

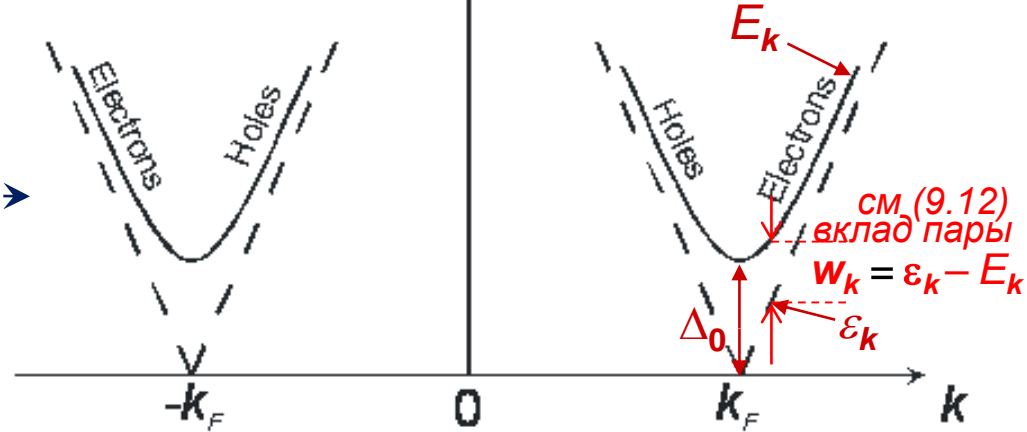
$$1 - \varepsilon_q^2 / E_q^2 = (E_q^2 - \varepsilon_q^2) / E_q^2 = (\varepsilon_q^2 + \Delta_0^2 - \varepsilon_q^2) / E_q^2 = \Delta_0^2 / E_q^2$$



Энергетическая щель



$$E_k = \sqrt{\epsilon_k^2 + \Delta_0^2}$$



$$\epsilon_k = \left| \frac{\hbar^2 k^2}{2m} - \frac{\hbar^2 k_F^2}{2m} \right| \approx \frac{\hbar^2 k_F}{m} |k - k_F|$$

$$\epsilon_e = \hbar^2/2m \{ k_2^2 - k_F^2 \} \approx (\hbar^2/2m) k_F \Delta k$$

$$\epsilon_h = \hbar^2/2m \{ k_2^2 - k_F^2 \} \approx (\hbar^2/2m) k_F \Delta k$$

$$\epsilon \approx (\hbar^2/2m) k_F / \Delta k$$

Наличие энергетической щели делает возможным сверхтекучесть электронной ферми-жидкости.

Поскольку при разрыве пары возникает два одночастичных возбуждения, наименьшая энергия распаривания равна $2\Delta_0$.

Плотность состояний квазичастиц $N(E)$

$$dn = N(E)dE$$

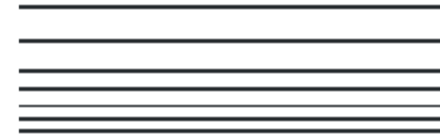
$$E_k = \sqrt{\epsilon_k^2 + \Delta_0^2}$$

$$N(E) = \frac{\partial n}{\partial E} = \frac{\partial n}{\partial \epsilon} \frac{\partial \epsilon}{\partial E} = N(0) \frac{\partial}{\partial E} \sqrt{E^2 - \Delta_0^2}$$

Расходимость при $E = \Delta$!!!

$$N(E) = N(0) \frac{E}{\sqrt{E^2 - \Delta_0^2}}$$

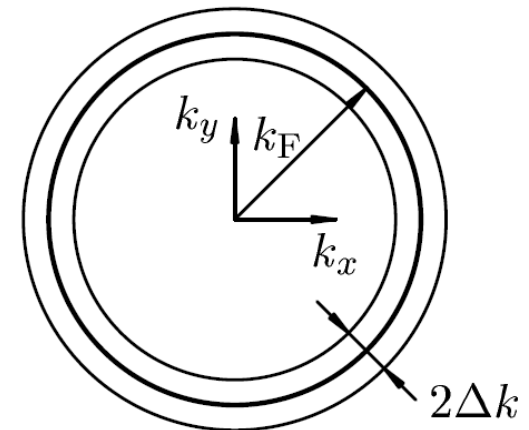
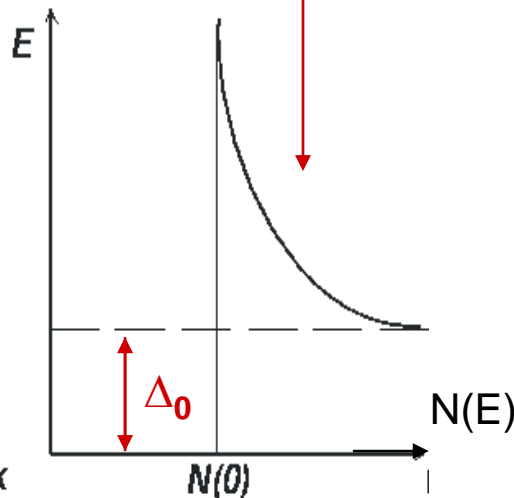
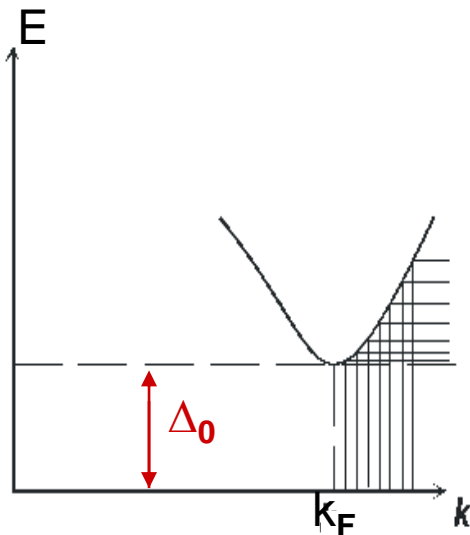
Одночастичные возбужденные состояния



elementary excitations

Δ_0

ground state
основное (парное) состояние



$$2 \cdot 4\pi k^2 dk / (2\pi)^3$$

$$\epsilon = \hbar k^2 / 2m \rightarrow k = \sqrt{\hbar \epsilon / 2m}$$

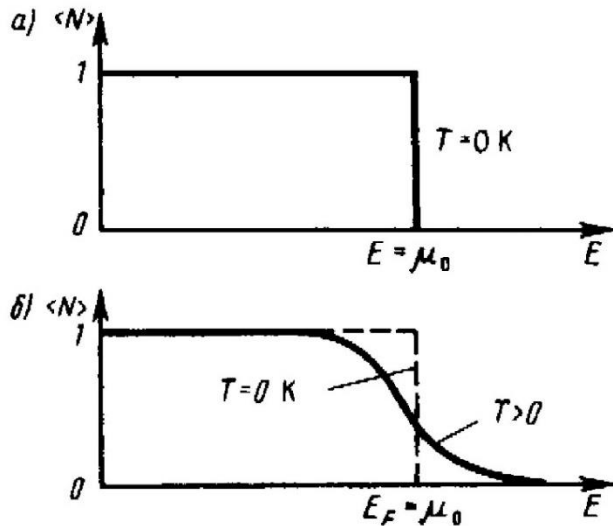
Перерыв

Тема 5

«Температурная зависимость энергетической щели»

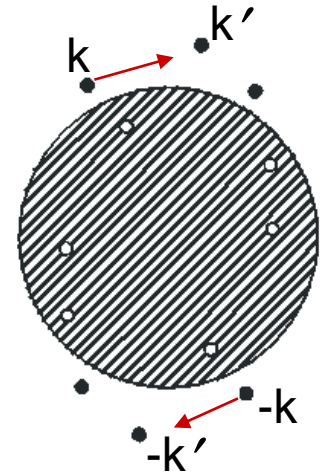
Зависимость энергетической щели от T

Температура T рождает одночастичные возбуждения за счет термоактивационных процессов.



Одночастичные возбуждения
подчиняются статистике Ферми:

$$f_k = \frac{1}{e^{\frac{E_k}{k_B T}} + 1}$$



Пара состояний k и $-k$ выбывает из процессов перерассеяния при возникновении одночастичных возбуждений либо с импульсом k либо $-k$. Таким образом, вероятность того, что парное состояние $k, -k$ **участвует** в образовании сверхпроводящего состояния при конечной температуре: $1 - 2f_k$.

$$E_S - E_N = \sum_0^{\infty} 2\varepsilon_k v_k^2 - \sum_{k,k'} V v_k u_{k'} v_{k'} u_k$$

$$E_S - E_N = \sum_0^{\infty} 2\varepsilon_k v_k^2 (1 - 2f_k) - \sum_{k,k'} V v_k u_{k'} v_{k'} u_k (1 - 2f_k) (1 - 2f_{k'})$$

Факторы когерентности и щель при $T \neq 0$

Минимизируем внутреннюю энергию сверхпроводника, чтобы найти оптимальное распределение v_k^2 при $T \neq 0$: $\partial F / \partial v_k^2 = 0$.

Было:

$$E_S - E_N = \sum_k 2\varepsilon_k v_k^2 - V \sum_{k,k'} v_k u_{k'} v_{k'} u_k$$

$$2\varepsilon_k - 2V \frac{\partial [(v_k^2)^{1/2} (1 - v_k^2)^{1/2}]}{\partial v_k^2} \sum_{k'} v_{k'} u_{k'} = 0$$

Стало:

$$E_S(T) - E_N = \sum_k 2\varepsilon_k v_k^2 (1 - 2f_k) - V \sum' v_k u_{k'} v_{k'} u_k (1 - 2f_k) (1 - 2f_{k'})$$

$$2\varepsilon_k (1 - 2f_k) - 2V \frac{\partial [(v_k^2)^{1/2} (1 - v_k^2)^{1/2}]}{\partial v_k^2} (1 - 2f_k) \sum_{k'} v_{k'} u_{k'} (1 - 2f_{k'}) = 0$$

При минимизации $E_S(T=0)$, получим выражение (см (9.5)):

(10.3), где теперь щель $\Delta(T) = V \sum' v_k u_k (1 - 2f_k)$

при $T \rightarrow 0$ щель $\Delta \rightarrow \Delta_0$, т.к. $f_k \rightarrow 0$

$$2\varepsilon_k - 2 \frac{\partial [(v_k^2)^{1/2} (1 - v_k^2)^{1/2}]}{\partial v_k^2} \Delta(T) = 0$$

Дальше можно не решать

$$\Delta(T) = V \sum' v_k u_k (1 - 2f_k)$$

Щель при $T \neq 0$

Решение ур. (10.3):

$$v_k^2 = (1/2)(1 - \varepsilon_k/E_k),$$

где теперь

$$E_k = \sqrt{\varepsilon_k^2 + \Delta^2(T)}$$

$$\text{см (9.7)} \quad u_k^2 = (1/2)(1 + \varepsilon_k/E_k)$$

определяется через $\Delta(T)$

$$\begin{aligned} \Delta_0 &= V \sum' v_k u_k = V \sum' [(1/2)^2 (1 - \varepsilon_k/E_k) (1 + \varepsilon_k/E_k)]^{1/2} = \\ &= V \sum' [(1/2)^2 (1 - \varepsilon_k^2/E_k^2)]^{1/2} = (V/2) \sum' [(E_k^2 - \varepsilon_k^2)/E_k^2]^{1/2} = \\ &= (V/2) \sum' [\Delta_0^2/E_k^2]^{1/2} = (V\Delta_0/2) \sum' [1/E_k] \end{aligned}$$

Подставляя v_k и u_k , получим (см. аналогично для $T=0$) уравнение на щель:

$$\Delta(T) = \{V\Delta(T)/2\} \sum' \{1/E_k\} (1 - 2/\{\exp(E_k/k_B T) + 1\})$$

$$1 - \frac{2}{e^x + 1} = \frac{e^x + 1 - 2}{e^x + 1} = \frac{e^x - 1}{e^x + 1} = \frac{e^{x/2}(e^{x/2} - e^{-x/2})}{e^{x/2}(e^{x/2} + e^{-x/2})} = \text{th}(x/2)$$

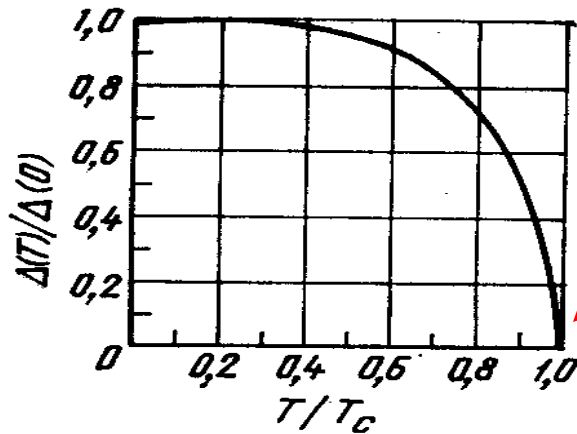
$$1 = \sum \frac{V}{2\sqrt{\varepsilon^2 + \Delta^2(T)}} \text{th} \frac{\sqrt{\varepsilon^2 + \Delta^2(T)}}{2k_B T}$$

Щель при $T \neq 0$

$$1 = \sum \frac{V}{\sqrt{\varepsilon^2 + \Delta^2(T)}} \operatorname{th} \frac{\sqrt{\varepsilon^2 + \Delta^2(T)}}{2k_B T}$$

Переходя от суммирования к интегрированию, получим:

$$\frac{1}{N(0)V} = \int_0^{\hbar\omega_D} \frac{d\varepsilon}{\sqrt{\varepsilon^2 + \Delta^2(T)}} \operatorname{th} \frac{\sqrt{\varepsilon^2 + \Delta^2(T)}}{2k_B T}$$



Вблизи T_c :

$$\Delta \sim (1 - T/T_c)$$

Это неявное выражение для температурной зависимости щели в теории БКШ.

В широкой области температур $\Delta(T)$ можно посчитать только численно (см. рис.).

$$H_{cm} = (N(0)/\mu_0)^{1/2} \Delta_0$$

$$\Delta_0 = \{\mu_0/N(0)\}^{1/2} H_{cm}$$

$$H_{cm} \sim (1 - T/T_c)$$

Есть 2 выделенные температуры, в которых интеграл берется:

$$T = 0$$

$$T = T_c$$

Связь щели Δ_0 и T_c

$$\frac{1}{N(0)V} = \int_0^{\hbar\omega_D} \frac{d\varepsilon}{\sqrt{\varepsilon^2 + \Delta^2(T)}} \operatorname{th} \frac{\sqrt{\varepsilon^2 + \Delta^2(T)}}{2k_B T}$$

При $T=T_c$ щель $\Delta(T)$ обращается в ноль и (10.5) принимает вид:

$$\frac{1}{N(0)V} = \int_0^{\hbar\omega_D} \frac{d\varepsilon}{\varepsilon} \operatorname{th} \frac{\varepsilon}{2k_B T_c} \Rightarrow \frac{1}{N(0)V} = \int_0^{x_0} \frac{dx}{x} \operatorname{th} x, \quad x = \frac{\varepsilon}{2k_B T_c}, \quad x_0 = \frac{\hbar\omega_D}{2k_B T_c}$$

интеграл при $x_0 \gg 1$,

$$\int_0^{x_0} \frac{\operatorname{th} x}{x} dx = \ln \{ 2Ax_0 \}$$

$A = 2\exp(\gamma) / \pi \approx 1,14$, γ - постоянная Эйлера

$$1/N(0)V = \ln [1,14 \hbar\omega_D / k_B T_c] \quad \text{при} \quad \hbar\omega_D \gg k_B T_c$$

$$k_B T_c = 1,14 \hbar\omega_D \exp\{-1/(N(0)V)\} \quad \rightarrow \quad k_B T_c / 1,14 = \Delta_0 / 2$$

$$\hbar\omega_D \exp\{-1/(N(0)V)\} = \Delta_0 / 2$$

*4

$$2\Delta_0 = 3,52 k_B T_c$$

$$\Delta_0 = 1,76 k_B T_c$$

$$\Delta_0 = 2\hbar\omega_D \exp\left(-\frac{1}{N(0)V}\right)$$

Экспериментальные следствия

$$k_B T_c = 1,14 \hbar \omega_D \exp\{-1/(N(0) V)\}$$

Изотопический эффект: $T_c \sim \omega_D \sim m^{-1/2}$, где m – масса изотопа

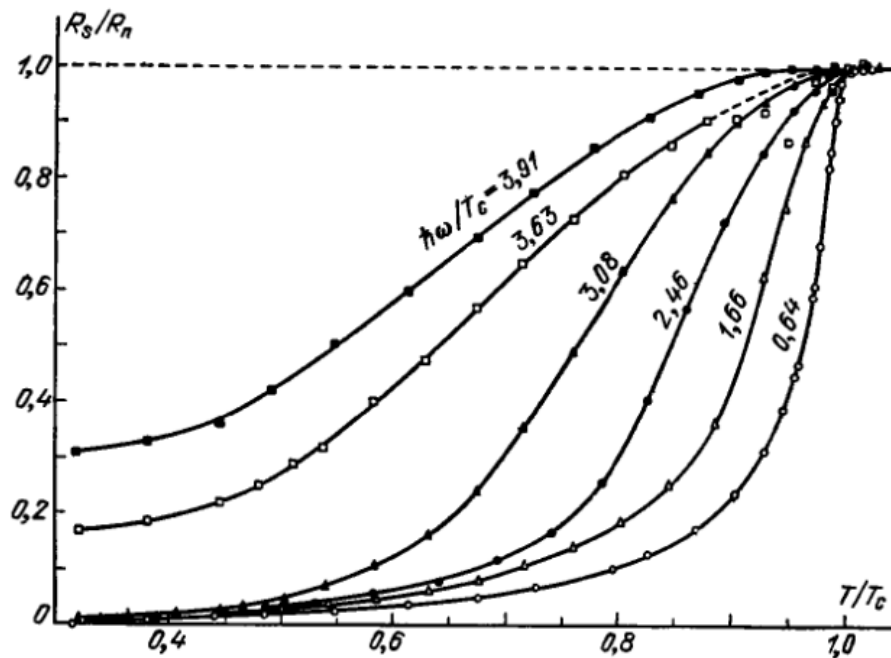
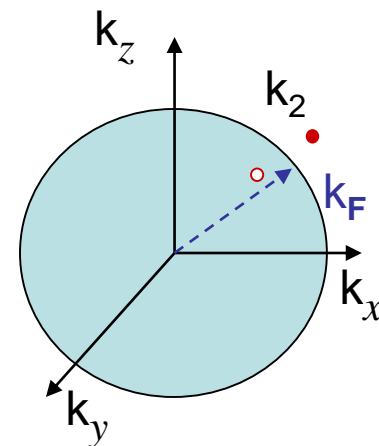
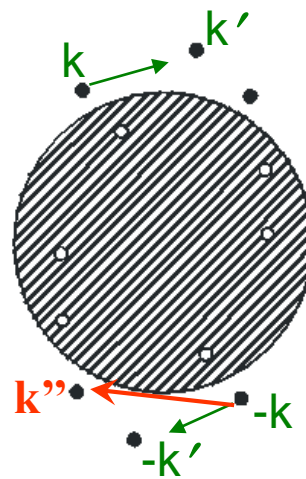


Рис. 19.4



*4

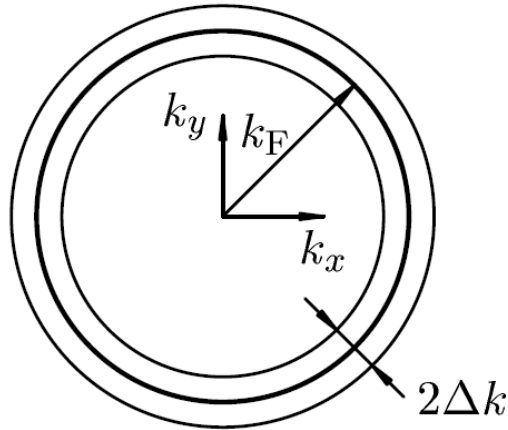
$$2\Delta_0 = 3,52 k_B T_c$$

Размер куперовской пары

Размер куперовской пары:

$$\Delta x^* \Delta p \sim \hbar \rightarrow \Delta x^* \hbar \Delta k \sim \hbar \rightarrow \Delta x^* \Delta k \sim 1$$

$\mathbf{p} = \hbar \mathbf{k}$



$$\Delta x = 1 / \Delta k$$

$$\varepsilon \propto k^2 \Rightarrow d\varepsilon \propto k dk$$

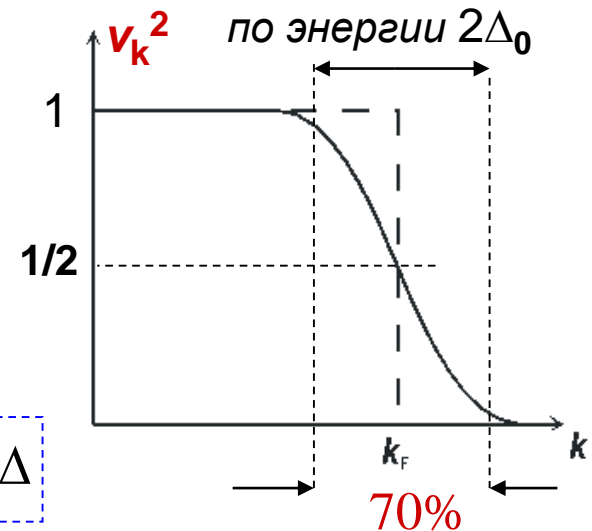
$$\frac{d\varepsilon}{\varepsilon} \propto \frac{k dk}{k^2} = \frac{dk}{k}$$

$$\frac{\Delta k}{k} = \frac{\Delta \varepsilon}{\varepsilon}$$

$$\Delta k = k_F \frac{\Delta \varepsilon}{\varepsilon_F}$$

$$\Delta \varepsilon = 2\hbar\omega_D \quad ? \quad 2\Delta$$

$$\varepsilon \approx (\hbar^2/2m) k_F^2 / \Delta k$$



$$2\Delta_0 = 3,52 k_B T_c$$

$$\Delta k / k_F \sim 2\Delta_0 / \varepsilon_F \leq 10^{-3} \rightarrow \Delta k \sim k_F 2\Delta_0 / \{\hbar^2 k_F^2 / 2m\} = 4\Delta_0 / \{\hbar \hbar k_F / m\} = 4\Delta_0 / \hbar v_F$$

Неопределенность координаты (размер пары): $\xi_0 \sim 1/\Delta k \sim \hbar v_F / 4\Delta_0 \sim \hbar v_F / (7k_B T_c)$

Точный ответ: $\xi_0 = 0.18 \hbar v_F / k_B T_c \sim 10^{-5} - 10^{-4} \text{ см}$; "объем пары" - 10^{-15} см^3

Время жизни когерентных состояний

$$\Delta E \Delta t \sim \hbar$$

Образование куперовских пар – динамический процесс. Время жизни:

$$\Delta t \sim \hbar / \Delta$$

Размер куперовской пары: $\xi_0 \sim v_F \Delta t \sim \hbar v_F / \Delta$ **совпадает!** $\xi_0 \gg l$

Влияние примесей: $\xi_d = \sqrt{D \Delta t} = \left(\frac{1}{3} l v_F \hbar / \Delta \right)^{1/2} \approx (l \xi_0)^{1/2}$ немагнитные

С λ_d – сложности.

$$E_s = -N(0) \Delta_0^2 / 2 = -\mu_0 H_{cm}^2 / 2$$

Считаем: $\mu_0 H_{cm} = \Phi_0 / 2 \sqrt{2\pi} \lambda \xi = i n v$

$$\lambda_0 \xi_0 = \lambda_d (\xi_0 l)^{1/2} \rightarrow \lambda_d = \lambda_0 (\xi_0 / l)^{1/2}$$

$$\Delta_0 = 2 \hbar \omega_D \exp \left(- \frac{1}{N(0) V} \right)$$

$$\kappa_d = \lambda / \xi = \lambda_0 (\xi_0 / l)^{1/2} / (\xi_0 l)^{1/2} = \boxed{\lambda_0 / l} = \lambda_0 \xi_0 / l \xi_0 = \kappa_0 (\xi_0 / l)$$

Тонкие пленки всегда (?) 2 рода.

Применимость теории Г-Л

Записали для разности плотностей энергии Гиббса:

$$g_s(r) - g_n = \alpha |\Psi|^2(r) + (\beta/2) |\Psi|^4(r) - BH + B^2/(2\mu_0) + [1/(4m)] |-i\hbar \nabla \Psi - 2eA \Psi|^2 + \\ = W_{\text{потенц}} + W_{\text{кин}} + W_{\text{магн}} + A_{\text{ист}}$$

$$W_{\text{кин}} = \gamma [1/(4m)] |-i\hbar \nabla \Psi - 2eA \Psi|^2 + \delta |-i\hbar \nabla \Psi - 2eA \Psi|^4 + \dots$$

Г-Л: Ψ и A медленно меняются в пространстве (на размере ξ_0). $\xi(T), \lambda(T) \gg \xi_0$

$$\xi(T) = \xi_0(1-T/T_c)^{-1/2} \gg \xi_0 \text{ при } T \rightarrow T_c \text{ автоматически}$$

$$\lambda(T) = \lambda_0(1-T/T_c)^{-1/2} \gg \xi_0 \rightarrow \kappa^2 = \{\lambda_0/\xi_0\}^2 \gg (1-T/T_c) \text{ жестковато:}$$

$$\kappa(Al) = 0.01$$

Условие локальности (лондоновская электродинамика)

$$\kappa(Pb) = 0.023$$

Грязный предел:

$$\xi_0 \rightarrow (\xi_0 l)^{1/2} \rightarrow \xi(T) \sim \xi_d(1-T/T_c)^{-1/2} \gg \xi_d \text{ при } T \rightarrow T_c \text{ автоматически}$$

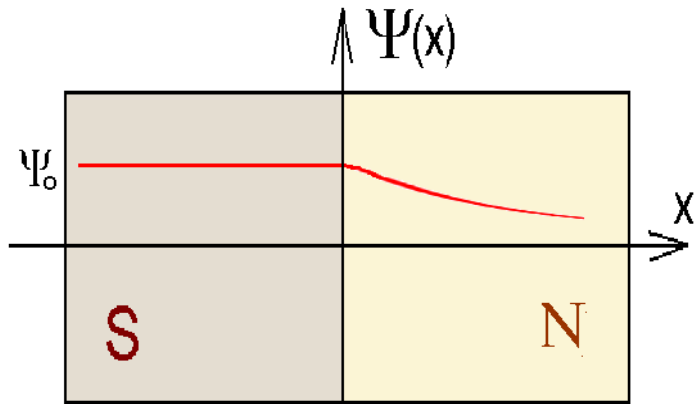
$$\lambda_0 \rightarrow \lambda_0(\xi_0/l)^{1/2} \rightarrow \lambda_0(\xi_0/l)^{1/2}(1-T/T_c)^{-1/2} \gg (\xi_0 l)^{1/2} \rightarrow \{\lambda_0/l\}^2 \gg (1-T/T_c)$$

$$\{\lambda_0/l\}^2 = \{\lambda_0/\xi_0\}^2 [\xi_0/l]^2 = \kappa^2 [\xi_0/l]^2 \gg (1-T/T_c)$$

норм!

Гетероструктуры сверхпроводник-ферромагнетик

Эффект близости в NS-структурах



$$\psi(x) = \psi_0 \exp(-x/\xi_N)$$

$$\xi_N???$$

Образование куперовских пар – динамический процесс.

Время жизни:

$$\delta E \delta t \sim \hbar: \longrightarrow \delta E = \Delta \longrightarrow \boxed{\Delta t \sim \hbar / \Delta}$$

$$\xi_0 = \hbar v_F / \Delta$$

Совпадает

Температурные флуктуации $k_B T$ разрушают “залетающие” в нормальный металл пары за время τ_N (время жизни пар) $\sim \hbar / \Delta E \sim \hbar / (k_B T)$;

$k_B T$ – “распаривающая” энергия

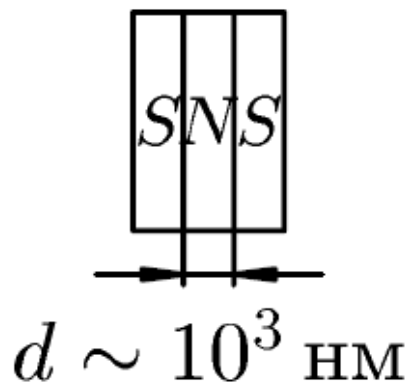
Как далеко проникне куперовская пара в нормальный металл? $\xi_N = v_F \tau$

$$\xi_d = \hbar v_F / kT$$

Влияние примесей:

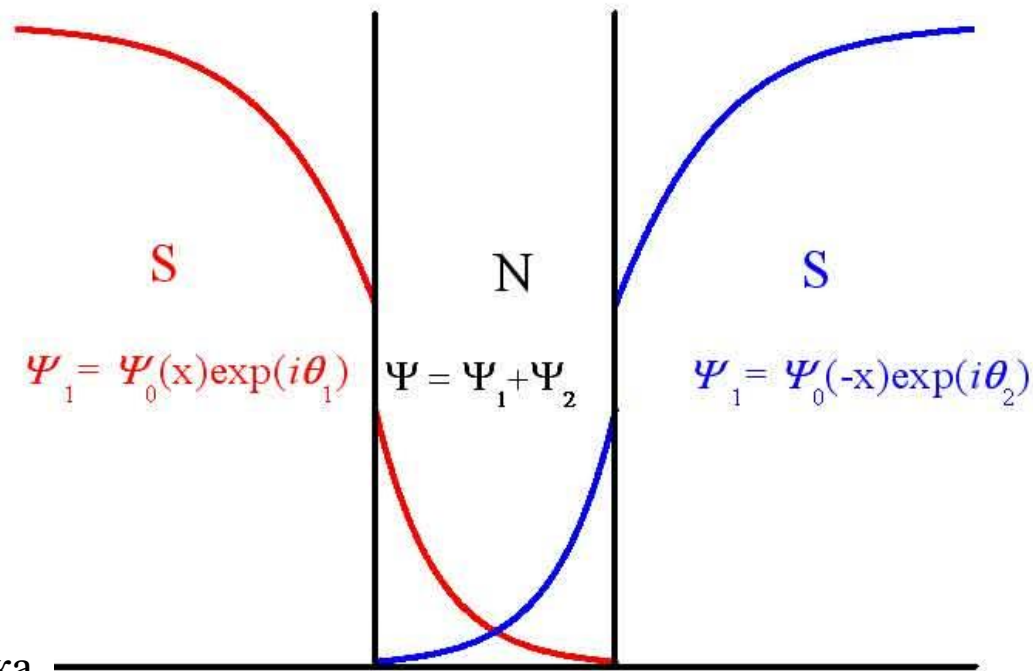
$$\xi_d = \sqrt{D \Delta t} = \left(\frac{1}{3} l v_F \hbar / \Delta \right)^{1/2} \approx (l \xi_0)^{1/2}$$

SNS-контакт.



Сверхпроводник

Прослойка



$$\psi = \text{th}[(x - x_0)/\sqrt{2}\xi].$$

$$\psi = \psi_0 e^{-|x|/\xi_n}$$

$$j_s \sim \psi_0^2 \exp(-d/\xi_N) \sin\varphi$$

Температурные флуктуации $k_B T$ разрушают “залетающие” в нормальный металл пары за время τ_N (время жизни пар) $\sim \hbar / \Delta E \sim \hbar / k_B T$

$k_B T$ – “распаривающая” энергия

Чистый случай: $\xi_d = \hbar v_F / kT \Rightarrow j_c \propto \exp(-\alpha T)$

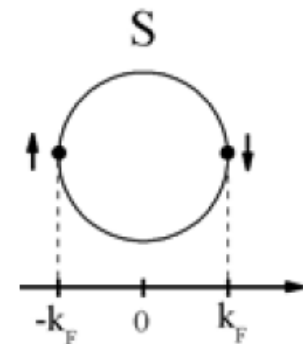
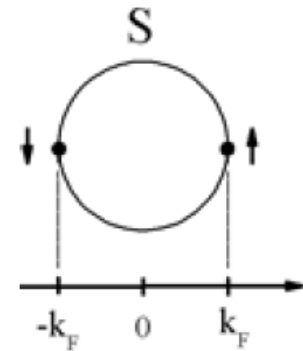
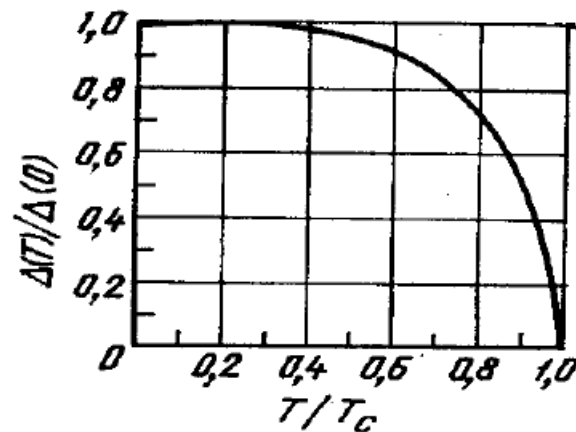
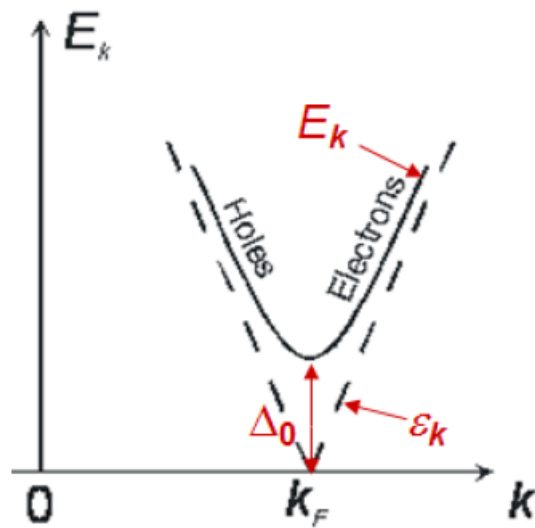
«Грязный» случай: $\xi_d = \sqrt{D\Delta t} = \left(\frac{\hbar D}{kT}\right)^{1/2} \Rightarrow j_c \propto \exp(-\alpha\sqrt{T})$

Спиновый антагонизм

1. Рассеяние на магнитных примесях. → бесщелевая сверхпроводимость.
2. Ферромагнитные сверхпроводники: неоднородная сверхпроводимость LOFF-состояния.
3. SF-гетероструктуры: LOFF-состояния, пи-контакт.
4. Триплетная сверхпроводимость.

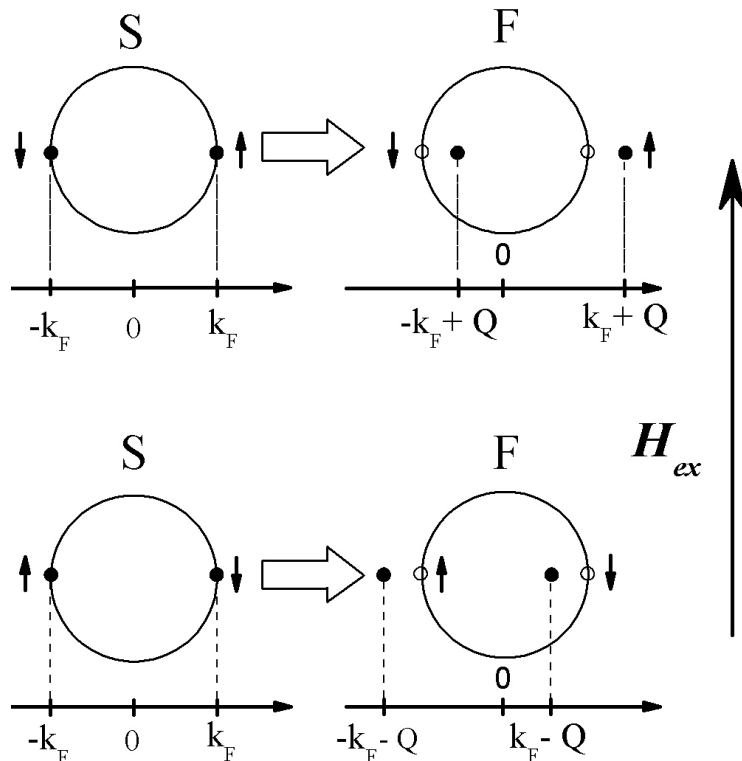
Квазичастицы убивают сверхпроводимость.

SO-рассеяние создает локальные квазичастичные состояния.



Пространственно неоднородная сверхпроводимость

Demler E.A., Arnold G.B., and Beasley M.R. *Phys. Rev. B* **55**, 15174 (1997).



$$\Delta E_p = \pm E_{ex}$$

$$\Delta E_k \approx \hbar^2 k_F \Delta k / 2m$$

$$Q = 2\Delta k = 2E_{ex} / \hbar v_F$$

$$\Psi_+ = \Psi_0 \exp(iQx)$$

$$\Psi_- = \Psi_0 \exp(-iQx)$$

$$\Psi = \frac{1}{2}(\Psi_+ + \Psi_-) = \Psi_0 \cos(Qx)$$

Пространственно-неоднородная сверхпроводимость (LOFF-состояния)

Комплексная длина когерентности

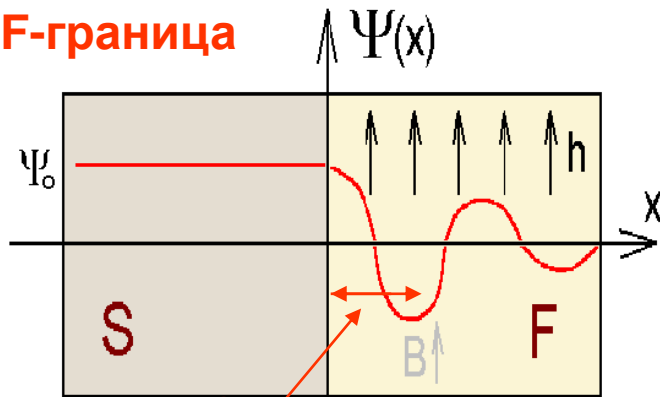
$$\psi(x) = \psi_0 \exp(-x/\xi_F)$$

$$\xi_F = \sqrt{\hbar D / E_{dp}} \quad ?$$

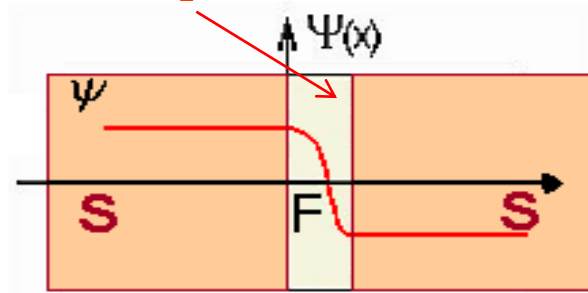
$$E_{dp} = ?$$

$$E_{ex} \gg kT$$

SF-граница



$Qx = \pi$



π -junction

$$i2E_{ex}\delta t + k_B T \sim \hbar: \quad \xi_F = \sqrt{D\delta t} = \left(\frac{1}{3} l v_F \hbar / 2iE_{ex} \right)^{1/2}$$

$\psi(x) \sim \exp(-k_F x)$, k_F — комплексная !

$$k_F = k_{F1} + iQ$$

$$Q \sim E_{ex} / (\hbar v_F) \text{ (чистый сл.)}$$

$\xi_F = 1/k_F$ — комплексная длина когерентности

$$1/\xi_F = 1/\xi_{F1} + i/\xi_{F2}; \quad \xi_{F1} \text{ — длина затухания}$$

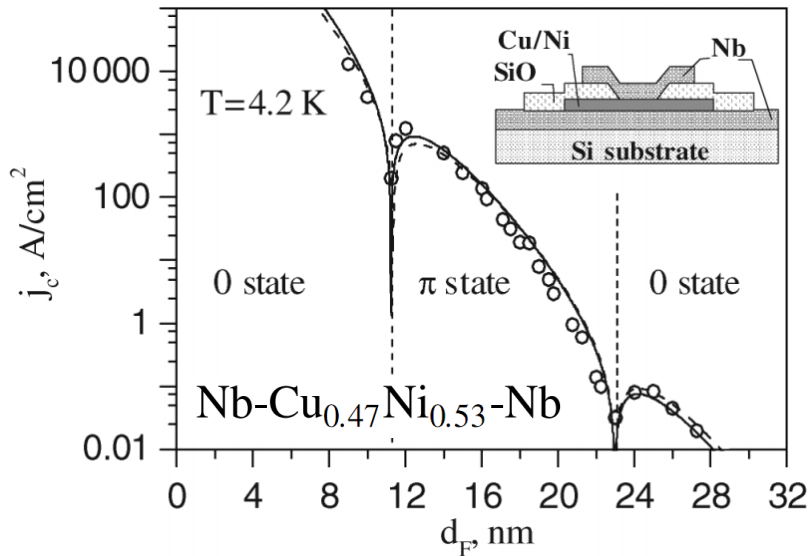
$$\lambda_{ex} = 2\pi\xi_{F2} \text{ — период пространственных осцилляций}$$

Co, Fe, Ni: $\xi_{F1} = \xi_{F2} = (\hbar D / E_{ex})^{1/2} < 1 \text{ nm}$

π -контакт — джозефсоновский переход, у которого
разные знаки волновой функции на берегах,
т.е. исходная разность фаз π !

$$\psi(x) = \psi_0 \exp(-x/\xi_{F1}) (\cos(x/\xi_{F1}) + i \sin(x/\xi_{F1}))$$

Осцилляции сверхпроводящего параметра порядка в SF-гетероструктурах.



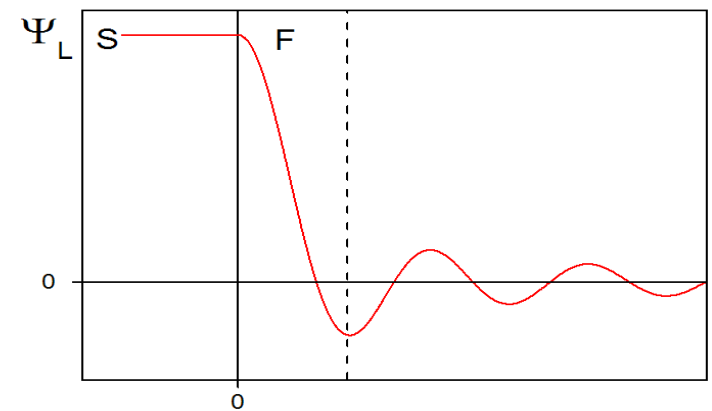
Пи-состояние: $\varphi_0 = \pi$,

$$j = -|j_c| \sin \varphi.$$

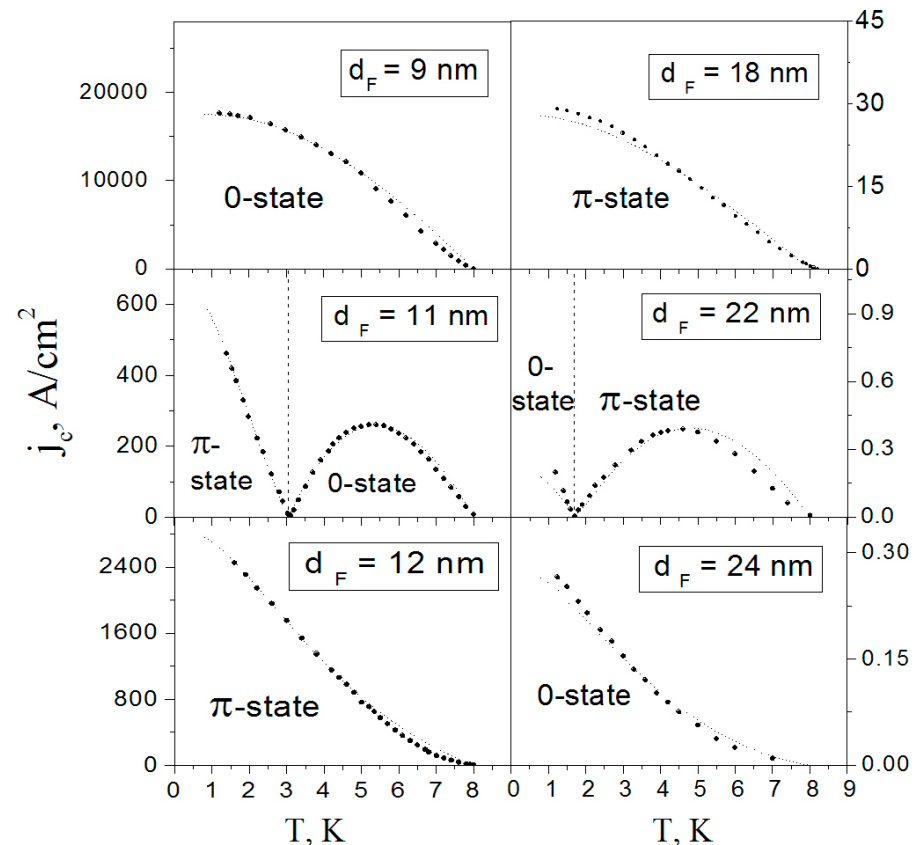
$$j = |j_c| \sin (\varphi + \pi)$$

Возвратные зависимости $I_c(d_F)$, $I_c(T)$.

$$j_s \sim \psi_0(T)^2 \exp\{-d / \xi_N(T)\} \sin \varphi$$

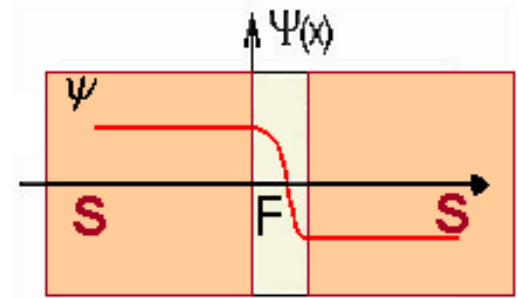


слабый ферромагнетик !

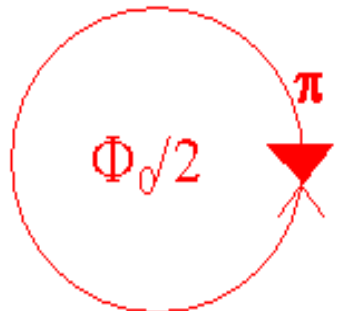


π-КОНТАКТЫ

Булаевский, Кузий, Собянин, 1977



$$2\pi L I_c \gg \Phi_0, \Phi_e = 0$$

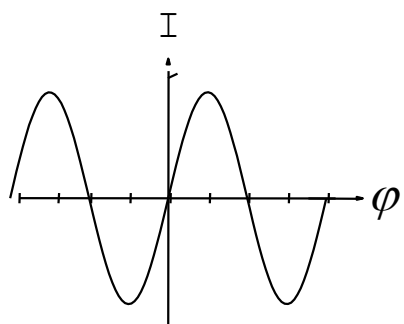


$$\begin{aligned} \varphi &= (2\pi/\Phi_0) \int A dl \\ &= 2\pi \Phi/\Phi_0 \\ \varphi &= \pi; \Phi = \Phi_0/2 ! \\ \Phi_e &= 0 \end{aligned}$$

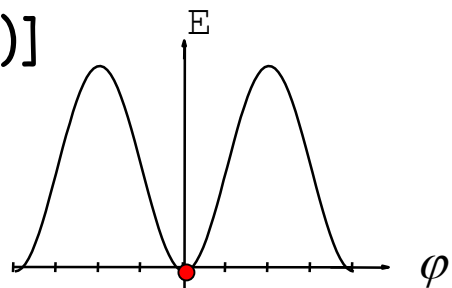
0-контакт

минимум энергии при 0

$$I_s(\varphi) = I_c \sin \varphi$$



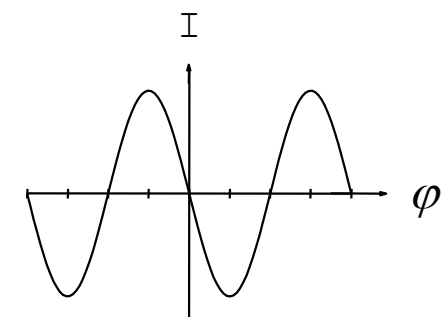
$$E = E_J [1 - \cos(\varphi)]$$



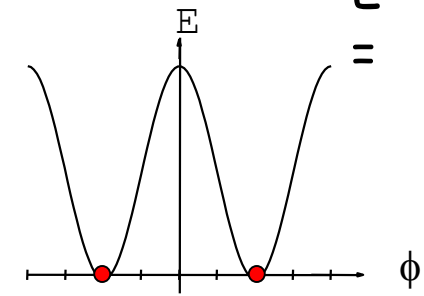
π-контакт

минимум энергии при π

$$I_s(\varphi) = I_c \sin(\varphi + \pi) = -I_c \sin \varphi$$

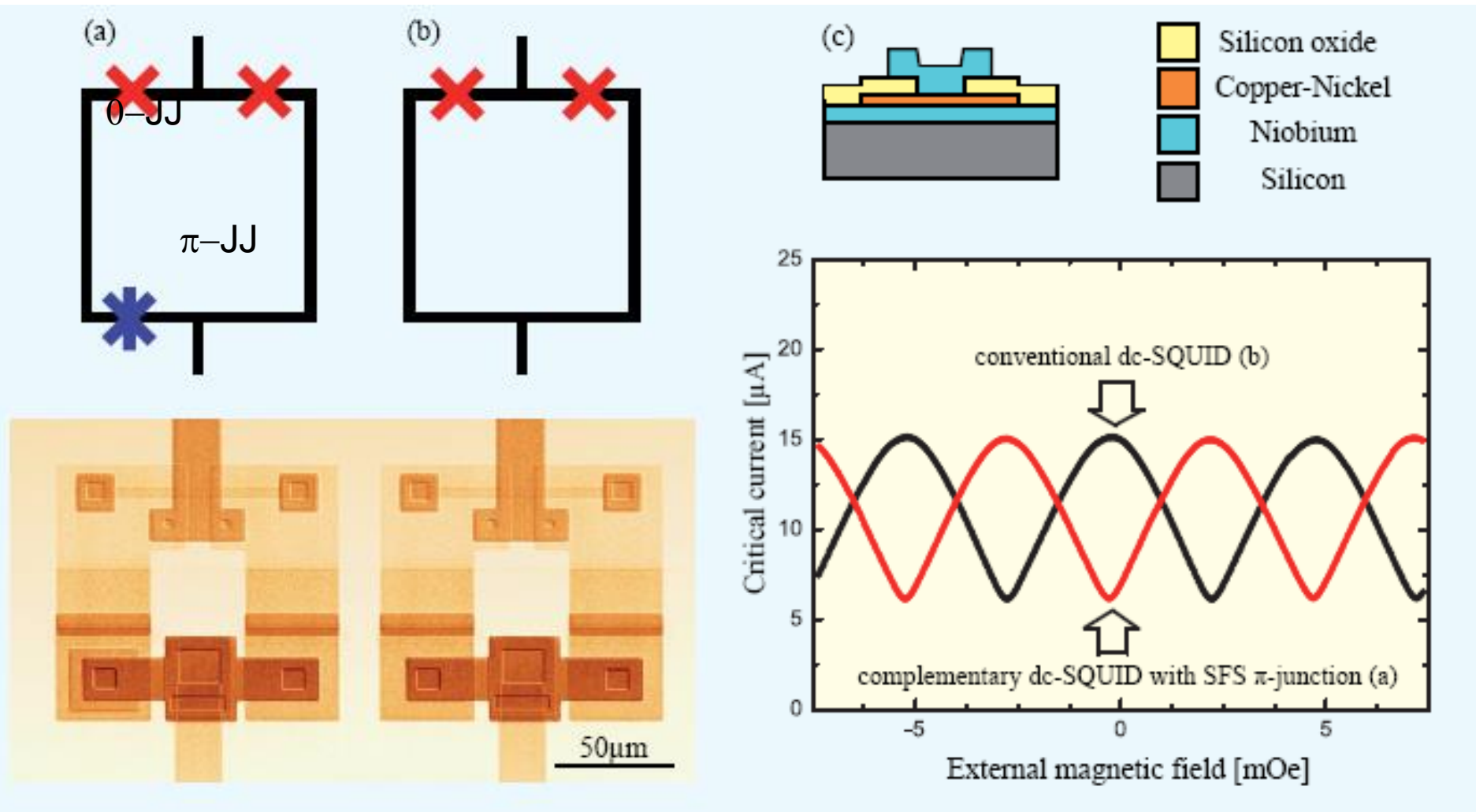


$$\begin{aligned} E &= E_J [1 - \cos(\pi + \phi)] = \\ &= E_J [1 + \cos \phi] \end{aligned}$$



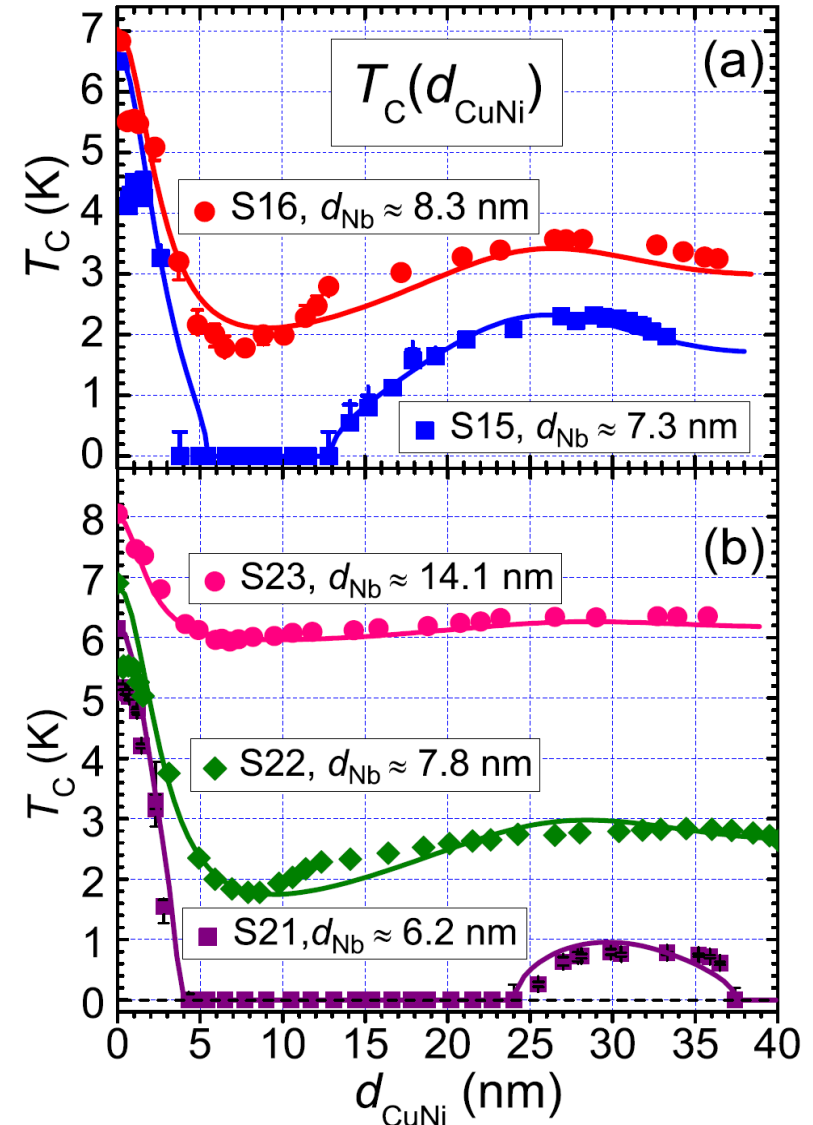
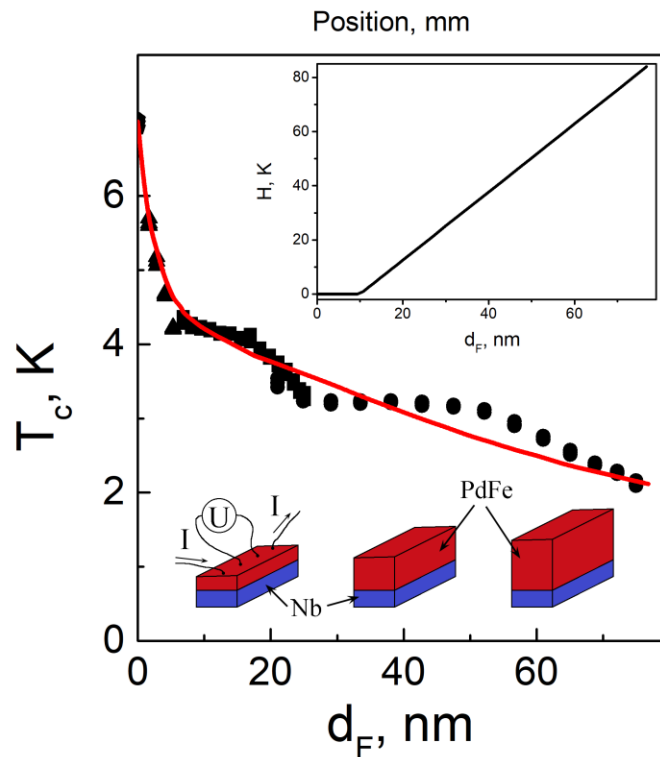
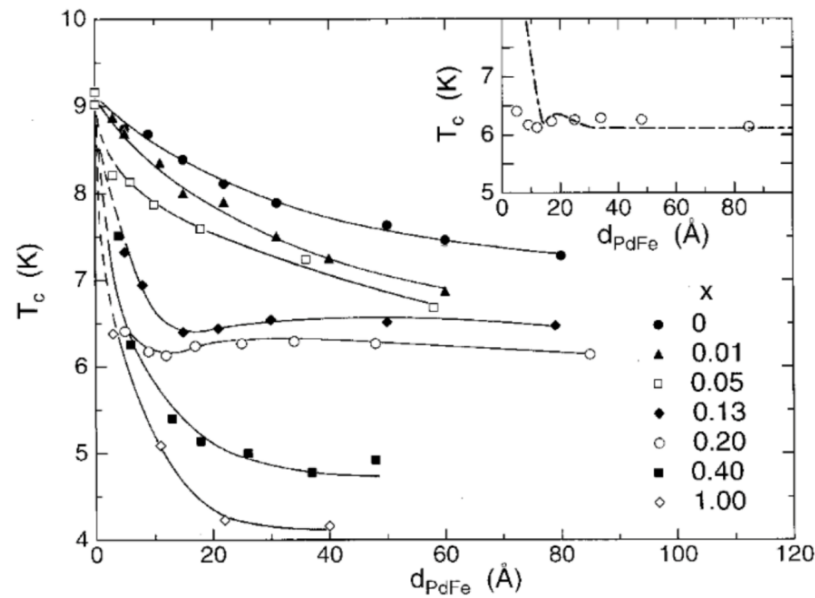
В кольцах с π-контактами возникают двукратно-вырожденные состояния

Комплементарный СКВИД.

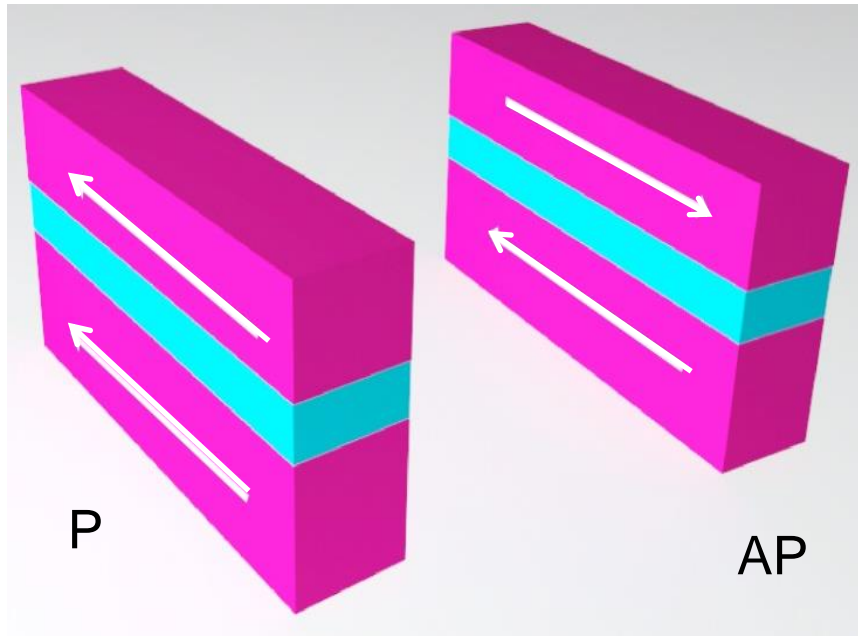


Nature Physics 6, 593 (2010).

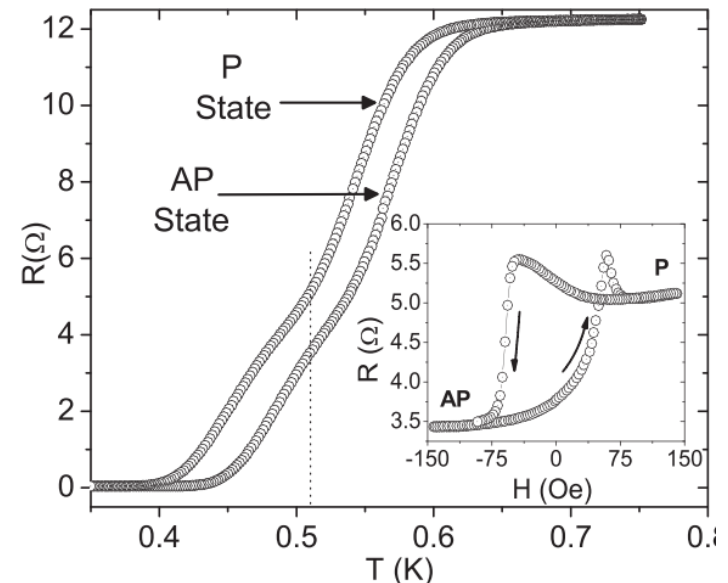
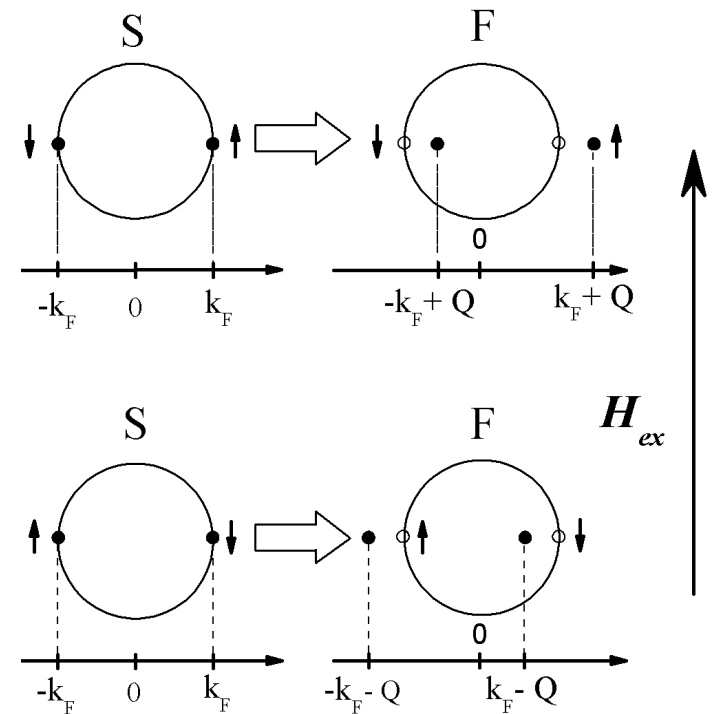
Слоистые структуры (SF)



«Близостные» элементы памяти.

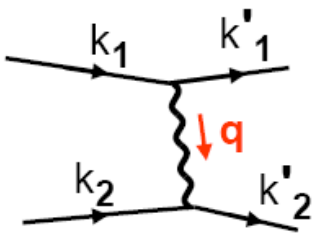


1. Основаны на управлении критической температурой сверхпроводника, «зажатого» между двумя ферромагнитными слоями.
2. Чувствителен к взаимной ориентации намагниченности ферромагнетиков.
3. Неограниченно масштабируем.

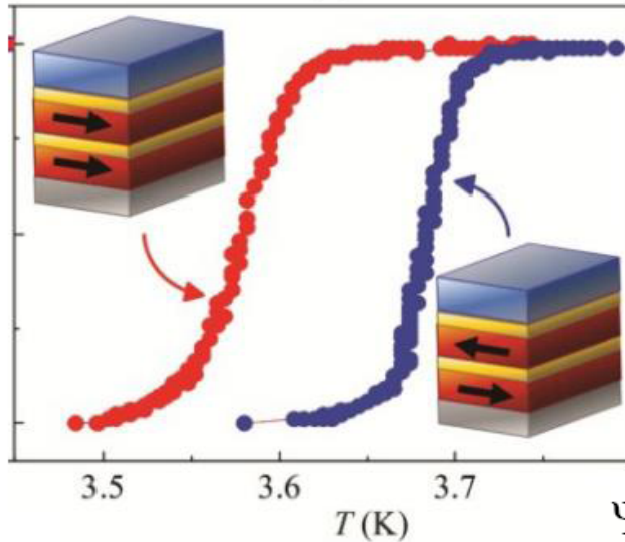


Триплетная сверхпроводимость

Импульс и спин куперовской пары.



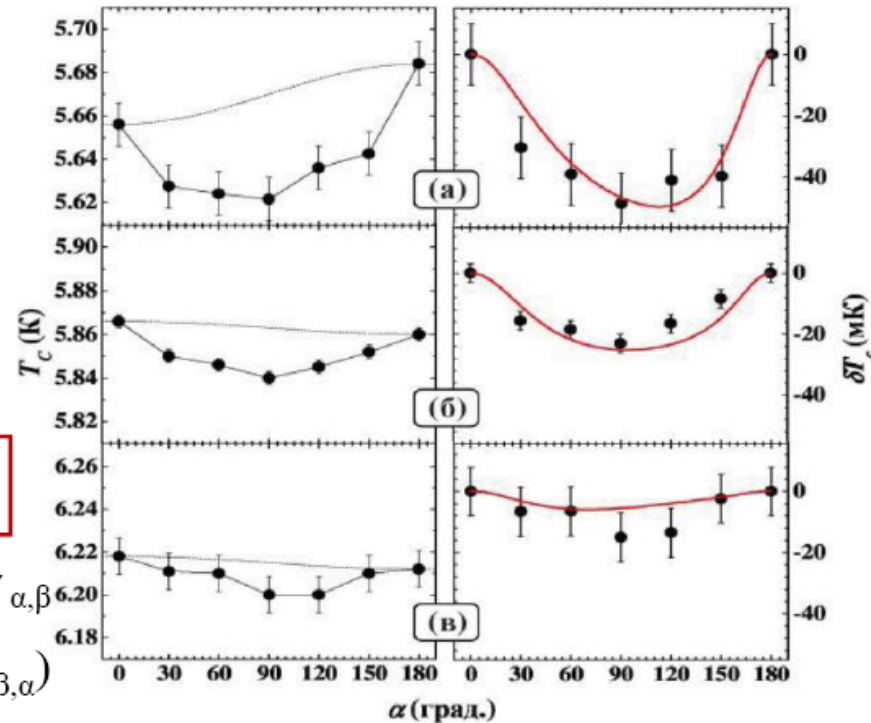
$$K = 0; k_1 = -k_2; k'_1 = -k'_2$$



$$S_1 = -S_2$$

$$\Psi_{\alpha,\beta} = \psi_{\alpha,\beta}(r_{\alpha,\beta})\chi_{\alpha,\beta}$$

$$\Psi = \sum \Psi_{\alpha,\beta}(r_{\alpha,\beta})\Psi_{\beta,\alpha}(r_{\beta,\alpha})$$

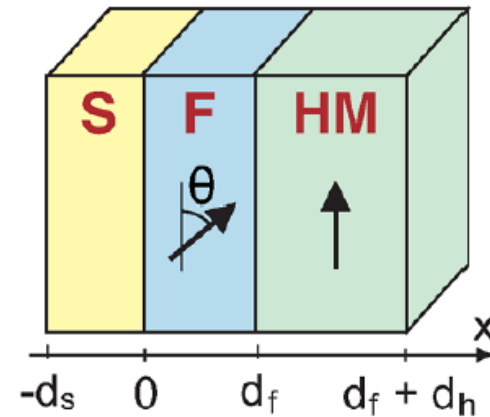


направлению волновыми векторами. Это позволяет рассмотреть орбитальную волновую функцию типа

$$\exp(\pm i\mathbf{k}\{\mathbf{r}_1 - \mathbf{r}_2\})$$

$$\psi_0(\mathbf{r}_1, \mathbf{r}_2) = \sum_{\mathbf{k}} g_{\mathbf{k}} \exp(i\mathbf{k} \cdot \mathbf{r}_1) \exp(-i\mathbf{k} \cdot \mathbf{r}_2).$$

С учетом антисимметрии полной волновой функции по отношению к перестановке этих двух электронов выражение для ψ_0 преобразуется или в сумму членов $\cos \mathbf{k} \cdot (\mathbf{r}_1 - \mathbf{r}_2)$, умноженных на антисимметричные синглетные спиновые функции $(\alpha_1\beta_2 - \beta_1\alpha_2)$, или в сумму членов $\sin \mathbf{k} \cdot (\mathbf{r}_1 - \mathbf{r}_2)$, умноженных на одну из симметричных триплетных спиновых функций $(\alpha_1\alpha_2, \alpha_1\beta_2 + \beta_1\alpha_2, \beta_1\beta_2)$. В этих вы-



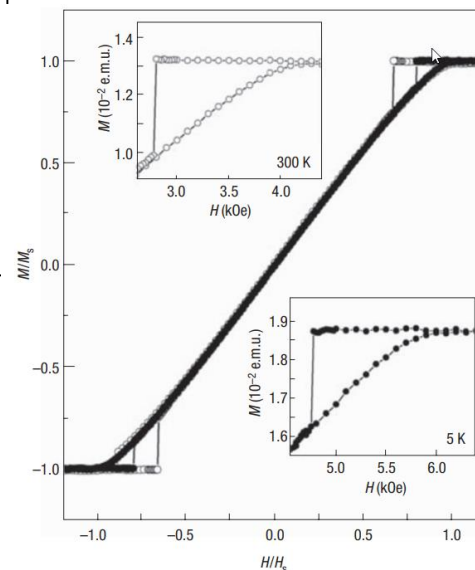
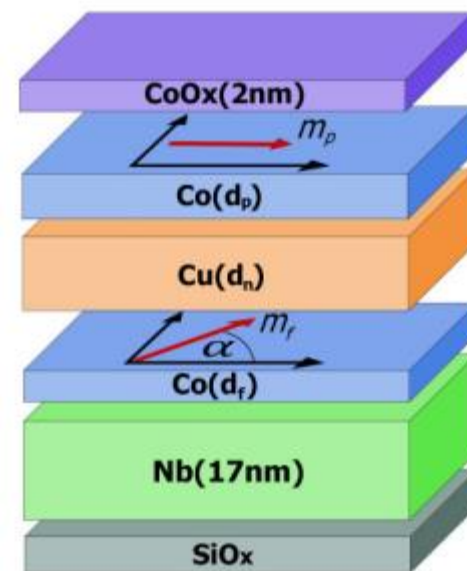
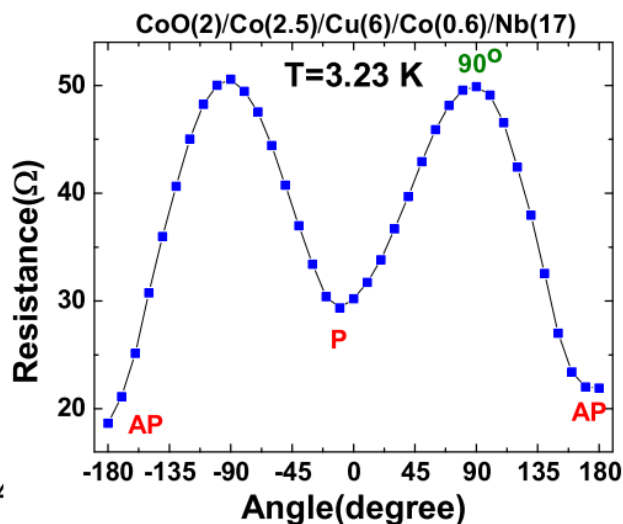
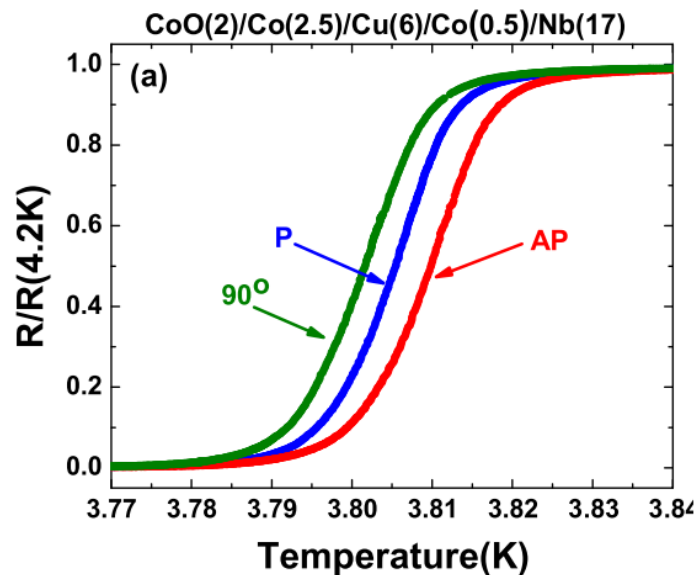
Триплетный spin-valve

Триплет

PHYSICAL REVIEW B **89**, 184502 (2014)

Angular dependence of superconductivity in superconductor/spin-valve heterostructures

Alejandro A. Jara,¹ Christopher Safranski,¹ Ilya N. Krivorotov,¹ Chien-Te Wu,² Abdul N. Malmi-Kakkada,² Oriol T. Valls,^{2,*} and Klaus Halterman^{3,†}



Электро-магнитный или смешанный